

รายการอ้างอิง

1. Malier, Y., *The French Approach to Using HPC*, Concrete International, July 1991, pp.28-32
2. Limsuwan, E., *Current Development and Implementation of HPC in Thailand*, International Workshop on High-Performance Concrete, November 21-22, 1994, Bangkok, Thailand, SP-159 , pp.57-77
3. สุพรรณม์ ศิริวัชรินทร์, *การศึกษาคอนกรีตกำลังสูงมาก*, วิทยานิพนธ์ ปริญญาวิศวกรรมศาสตรมหาบัณฑิต, ภาควิชาวิศวกรรมโยธา, จุฬาลงกรณ์มหาวิทยาลัย, พ.ศ. 2525
4. สฤต พจนารต, *พฤติกรรมการคืบของคานคอนกรีตอัดแรงทำด้วยคอนกรีตกำลังสูงมาก*, วิทยานิพนธ์ปริญญาวิศวกรรมศาสตรมหาบัณฑิต, ภาควิชาวิศวกรรมโยธา, จุฬาลงกรณ์มหาวิทยาลัย , พ.ศ. 2525
5. Nimityongskul, P. , *Mix Proportions for High Performance Concrete* , Pre-Workshop On High Performance Concrete, Bangkok, Thailand, July 1994, pp.23-38
6. กิตติกร ต้นเป่า, *ผลกระทบจากขนาดคละของมวลรวมในสภาพเหลวของคอนกรีตสมรรถนะสูง*, วิทยานิพนธ์ ปริญญาวิศวกรรมศาสตรมหาบัณฑิต, ภาควิชาวิศวกรรมโยธา, จุฬาลงกรณ์มหาวิทยาลัย, พ.ศ. 2538
7. ณรงค์ศักดิ์ ลีวานิชกิจ, *ผลของขนาดคละมวลรวมต่อสภาพแข็งตัวของคอนกรีตสมรรถนะสูง*, วิทยานิพนธ์ ปริญญาวิศวกรรมศาสตรมหาบัณฑิต, ภาควิชาวิศวกรรมโยธา, จุฬาลงกรณ์มหาวิทยาลัย, พ.ศ. 2539
8. กรกฎ วิจิตรพงศ์ , *การใช้ซีเมนต์ลอยแม่เมาะในการปรับปรุงความสามารถทำงานได้ของคอนกรีตสด*, วิทยานิพนธ์ ปริญญาวิศวกรรมศาสตรมหาบัณฑิต, ภาควิชาวิศวกรรมโยธา, จุฬาลงกรณ์มหาวิทยาลัย, พ.ศ. 2531
9. วิศวะ จักรไพศาล , *ผลกระทบของซีเมนต์ลอยในปฏิกิริยาปอซโซลานิกที่มีผลต่อกำลังอัดของคอนกรีตสมรรถนะสูง* . วิทยานิพนธ์ ปริญญาวิศวกรรมศาสตรมหาบัณฑิต, ภาควิชาวิศวกรรมโยธา, จุฬาลงกรณ์มหาวิทยาลัย, พ.ศ. 2539
10. สมภพ สุวรรณกวิน, *ผลกระทบของซิลิกาฟูมในปฏิกิริยาปอซโซลานิกที่มีผลต่อกำลังอัดของคอนกรีตสมรรถนะสูง* , วิทยานิพนธ์ ปริญญาวิศวกรรมศาสตรมหาบัณฑิต, ภาควิชาวิศวกรรมโยธา, จุฬาลงกรณ์มหาวิทยาลัย, พ.ศ. 2539
11. Road Research Laboratory, *Design of Concrete Mixes*, Road Note No. 4 , Department of Scientific and Industrial Research, HMSO, London, Revised Edition ,1956
12. Teychenne, D. C., Frankin, R. E., and Erntroy, H. C., *Design of Normal Concrete Mixes*, Department of Environment, HMSO, London, 1975, Revised edition, 1988, Teychenne, D. C., Franklin, R. E., and Hobbs, D.W. 1988, Department of Environment/BRE
13. ACI Committee 211, *Standard Practice for Selecting Proportions for Normal, Heavyweight, and Mass Concrete (ACI 211.1-91)*, American Concrete Institute, Detroit, 38 pp.
14. ACI Committee 201, *Proposed revision of : Guide to Durable Concrete (ACI 201.2R)*, ACI Materials Journal, September-October 1991, pp.544-582
15. Azaz-un-Nabi, *A Microcomputer Peckage for Concrete Mix Design*, A Master Thesis submitted to Asian Institute of Technology, Bangkok, Thailand, March 1992, ST 92-23, 63 pp.

16. Nicholas, J. C., and James R.C., *Outline of a National Plan on High Performance Concrete, Report on the NIST/ACI Workshop May 16-18 1990*, National Institute of Standard and Technology Center for Building Technology, Gaithersburg, December 1990
17. FIP/CEB, *High Strength Concrete State Of the Art Report*, Bulletin 'd Information, No.197, FIP, August 1990
18. Forster, S. W., *High Performance Concrete: Understanding the basics*, Special report from the High Performance Concrete Committee, Federal Highway Administration, U.S. Department of Transportation, 1994
19. SHRP-C/FR-91-103, *High Performance Concretes : A state of the art report*, Strategic Highway Research Program, National Research Council, Washington, DC., 991
20. Ozawa K., Maekawa K., and Okamura H., *High Performance Concrete with High Filling Capacity*, Proceeding of the International Symposium, Admixtures for Concrete : Improvement of Properties, Barcelona May14-17,1990, pp.51-62
21. Okamura H., *Self-Compacting High-Performance Concrete*, Concrete International July 1997, pp.50-54
22. ACI Committee 207, *Mass Concrete for Dams and Other Massive Structures (ACI 207.1R-70) Reaffirmed 1980*, American Concrete Institute, Detroit, 37 pp.
23. ACI Committee 224, *Control of Cracking in Concrete Structures*, Journal ACI, Vol. 69, No.12, December 1972, pp 717-753
24. Bogue, R.H. & Lerch, W., *Hydration of Portland Cement Compounds*, Ind. Engng Chem., 26(8) (1934), 837-47.
25. U S Bureau of Reclamation, *Concrete Manual*, 8th edition, Denver, CO, USA, 1975, p.45.
26. Verbeck, G.J. & Foster, C. W., *Long time study of cement performance in concrete*, The Heats of Hydration of the Cements. Proc. ASTM 50 (1950) 1235-57.
27. Price, W. H., *Factors influencing concrete strength*, J. ACI, 47(2), 1951, 417-32.
28. Goltermann, P., Johansen, V., and Palbol, L., *Packing of Aggregates: An Alternative Tool to Determine the Optimal Aggregate Mix*, ACI Materials Journal, September-October 1997, pp.435-443
29. Fuller, W. B., and Thompson, S. E., *The Laws of Proportioning Concrete*, Trans ASCE, 59, 1907, pp. 67-143
30. ACI Committee 304, *Placing Concrete by Pumping Methods (ACI 304.2R)*, ACI Materials Journal, July-August 1995, pp.441-464
31. ACI Committee 211, *Guide for Selecting Proportions for High-Strength Concrete with Portland Cement and Fly Ash (ACI 211.4R-93)*, American Concrete Institute, Detroit, 13 pp.
32. ACI Committee 226, *Silica Fume in Concrete*, Committee Preliminary Report, ACI Materials Journal, March-April 1987, pp.158-166

33. Blick, R. L., Peterson, C. F., and Winter, M. E., *Proportioning and Controlling High Strength Concrete*, Proportioning Concrete Mixes, ACI Publication SP-46, American Concrete Institute, Detroit, 1974, pp.141-166
34. ACI Committee 363, *State-of-the-Art Report on High – Strength Concrete (ACI 363R-92)*, American Concrete Institute, Detroit, 55 pp.
35. Hewlett, P. C., *The Concept of Superplasticized Concrete*, Superplasticizers in Concrete, SP-62, American Concrete Institute, Detroit, 1979, pp. 1 – 20
36. Meyer, A., *Experiences in the Use of Superplasticizers in Germany*, Superplasticizers in Concrete, SP-62, American Concrete Institute, Detroit, 1979, pp. 1 – 20
37. Stitmannalthum, B, *Effect of Mixing Intensity on Fresh Properties of Fresh Concrete Mixed by Pan Type Mixer*, A Dissertation submitted to The University of Tokyo, September 1992, 169 pp.
38. Kitticharoenkiat, P., *A Slump Prediction Model Based on Water Retainability and Free Water Concepts*, A Master Thesis submitted to Sirindhorn International Institute of Technology, Thammasart University, September, 1998
39. Loudon, A. G., *Computation of Permeability from Simple Soil Tests*, *Geotechnique*, 3, 165-183, 1952-1953
40. Pongporncharoen, S., *Prediction of Workability of Fresh Concrete Containing Fly Ash*, A Master Thesis Submitted to Asian Institute of Technology, April 1997, ST97-4, 69pp.
41. ทนกร บริบูรณ์สมสัน, บรรณศักดิ์ ชูสาย และ นนทวัฒน์ ปานสมบูรณ์, *แบบจำลองและการประยุกต์ใช้คอนกรีตไหล*, โครงการทางวิศวกรรมโยธา, ภาควิชาวิศวกรรมโยธา คณะวิศวกรรมศาสตร์ จุฬาลงกรณ์มหาวิทยาลัย, พ.ศ.2541
42. Abrams, D. A., *Design of concrete mixes*. Bull, No.1, Structure of Materials Research Laboratories, Lewis Inst., Chicago, 1918. Reprinted in, *A Selection of Historic American Papers on Concrete*, 1926-1976 (ACI SP 52), Detroit, MI, 1976, pp.309-330
43. Saul, A. G. A., *Principles Underlying the Steam Curing of Concrete at Atmospheric Pressure*, Magazine of Concrete Research (London), V.2, No.6, Mar 1951, pp. 127-140
44. Plowman, J. M., *Maturity and Strength of Concrete*, Magazine of Concrete Research (London), V.8, No.22, Mar 1956, pp.13-22
45. Guo Chenju, *Maturity of Concrete : Method for Predicting Early-Stage Strength*, ACI Materials Journal, July-August 1989, pp.341-353
46. BS 8110: 1985 , *Structural Use of Concrete – Part 1 : Code of practice for Design and Construction*. British Standard Institution, London, 1985
47. Comite Euro-International Du Beton, *CEB-FIP Model Code 1990 : Design Code*, Thomas telford 1993
48. ยศชัย จุประพัทธ์ศรี, *การศึกษาดูงานห้เพิ่มแบบบักกั้นความร้อนในคอนกรีตหลา*, วิทยานิพนธ์ ปริญญาวิศวกรรมศาสตรมหาบัณฑิต, ภาควิชาวิศวกรรมโยธา, จุฬาลงกรณ์มหาวิทยาลัย, พ.ศ. 2532

49. Sarker, P. K., *Hydration Heat Modelling of Concrete Using Fly Ash*, A Master Thesis Submitted to Asian Institute of Technology, April 1997, ST97-4, 69pp.
50. Srichoo, A.-T., *Development of Low Heat Concrete Using Fly Ash and Pumicite*, A Master Thesis Submitted to Asian Institute of Technology, April 1997, ST 97-4, 55pp.
51. Bentur, A. , and Goldman, A., *Curing effects, strength end properties of high strength silice fume concretes*, J. Mater. Civ. Engng, 1 (1), 1988, 46-58
52. Meland, I., *Influences on condensed silica fume and fly ash on the heat evolution in cement pastes*. In Fly ash, silica fume, Slag and Other Mineral By-Products in Concrete (ACI Spec. Publ. SP-79, Vol. II), ed. V. M. Malhotra, ACI, Detroit, MI, USA, 1983, pp. 665-676
53. Malhotra, V. M., *Superplasticizers: Their Effect on Fresh and Hardened Concrete*, Concrete International, May 1981, pp.66-81
54. Loo, Y-C., Ahmad, S. F., *A Comparative Study of Four Popular Concrete Mix Design Methods*, Research Report No. 151 c.2 , Division of Structural Engineering and Construction, Asian Institute of Technology, Bangkok, Thailand, October 1982, 23 pp.
55. ACI Committee 214, *Recommend Practice for Evaluation of Strength Test Results of Concrete (ACI 214-77)*, ACI Standard, American Concrete Institute, Detroit
56. สมยศ สิริโสภณศิลป์, *การกระจายอุณหภูมิบนหน้าตัดคอนกรีตรูปกล่องที่อยู่กลางแจ้ง*, วิทยานิพนธ์ปริญญาวิศวกรรมศาสตรมหาบัณฑิต, ภาควิชาวิศวกรรมโยธา, จุฬาลงกรณ์มหาวิทยาลัย , พ.ศ. 2526
57. ปราโมทย์ เดชะอำไพ, *ไฟไนต์เอลิเมนต์ ในงานวิศวกรรม*, พิมพ์ครั้งที่ 2, สำนักพิมพ์แห่งจุฬาลงกรณ์มหาวิทยาลัย, พ.ศ. 2542, 483 หน้า
58. ACI Committee 318, *Building Code Requirement for Structural Concrete (ACI 318-95) and Commentary (ACI 318R-95)*, ACI Manual of Concrete Practice Part3-1997, 369 pp.
59. Hognestad, E., *High Strength Bars as Concrete Reinforcement, Part 2, Control of Flexural Cracking*, Journal, Portland Cement Association Research and Development Laboratories, Vol.4, No.1, January 1962, pp.46-63

สถาบันวิทยบริการ
จุฬาลงกรณ์มหาวิทยาลัย

ภาคผนวก ก

การวิเคราะห์การถ่ายเทความร้อนภายในโครงสร้างคอนกรีตผลาดด้วยวิธีการไฟไนต์เอลิเมนต์

ก. สมมติฐานของการวิเคราะห์

การวิเคราะห์ปัญหาการถ่ายเทความร้อนภายในโครงสร้างคอนกรีตผลาดในงานวิจัย อยู่ภายใต้สมมติฐานดังต่อไปนี้

1. คอนกรีตเป็นวัสดุที่มีความเป็นเนื้อเดียวและมีคุณสมบัติทางความร้อนเหมือนกันในทุกทิศทาง
2. คุณสมบัติทางความร้อนของวัสดุไม่เปลี่ยนแปลงตามอุณหภูมิและตลอดช่วงเวลาที่ทำกรวิเคราะห์
3. การถ่ายเทความร้อนที่เกิดขึ้นอยู่ใน 2 มิติ โดยมีพฤติกรรมกรถ่ายเทความร้อนเหมือนกันในทุก ๆ หน้าตัด
4. อุณหภูมิที่กระจายในส่วนย่อย ๆ มีลักษณะเป็นฟังก์ชันเส้นตรง
5. อัตราการกำเนิดพลังงานความร้อนภายในเนื่องจากปฏิกิริยาไฮเดรชันของซีเมนต์ และ วัสดุประสานอื่น ๆ มีลักษณะเดียวกับผลทดสอบอุณหภูมิเพิ่มแบบกักกันความร้อน

ข. สมการเชิงอนุพันธ์ควบคุม

การถ่ายเทความร้อนภายในโครงสร้างคอนกรีตผลาด สามารถอธิบายได้ดังรูปที่ ผ.1 ซึ่งความร้อนที่เกิดขึ้นทั้งจากการเกิดปฏิกิริยาไฮเดรชัน หรืออุณหภูมิที่ถูกกำหนดขึ้นภายในโดเมน Ω การพาความร้อน การแผ่รังสีความร้อน การให้ความร้อนที่ผิว หรืออุณหภูมิที่ถูกกำหนดขึ้นที่ผิว ในโดเมน Γ สามารถทำการศึกษาได้โดยใช้สมการเชิงอนุพันธ์สำหรับการถ่ายเทความร้อนทั่วไปในสถานะไม่อยู่ตัว (Transient State) ดังนี้

$$\left(\frac{\partial q_x}{\partial x} + \frac{\partial q_y}{\partial y} + \frac{\partial q_z}{\partial z} \right) + Q = \rho c \frac{\partial T}{\partial t}$$

หรือ
$$-\nabla \cdot \underline{q} + Q = \rho c \frac{\partial T}{\partial t} \quad (ผ-1)$$

โดยที่ q_x , q_y และ q_z คืออัตราการถ่ายเทความร้อนต่อหน่วยพื้นที่ ในทิศทาง x , y และ z ตามลำดับ (Heat flux, Btu/ft²-hr) โดยในการวิเคราะห์จะพิจารณาให้เวกเตอร์ของสนามความร้อน \underline{q} มีทิศทางเป็นบวกเมื่อพุ่งออกในทิศทางตั้งฉากกับจากผิวของวัตถุ Q คืออัตราการผลิตความร้อนที่เกิดขึ้นภายในต่อหน่วยปริมาตรเนื้อวัสดุ ต่อหน่วยเวลา (Btu/ft³-hr) ρ คือ ความหนาแน่นของมวล (lb/ft³) c คือค่าความร้อนจำเพาะ (Btu/lb-°F) และ T คืออุณหภูมิภายในซึ่งเปลี่ยนแปลงตามเวลา t เป็นตัวแปรที่ต้องการทราบค่าในการวิเคราะห์

ค. เงื่อนไขขอบเขตสำหรับการวิเคราะห์

ในการวิเคราะห์ปัญหาการถ่ายเทความร้อนนั้น เงื่อนไขขอบเขตที่เกี่ยวข้องสามารถกำหนดได้ทั้งเงื่อนไขขอบเขตแบบไดริชเลต์ (Dirichlet Boundary Condition) คือ จุดกำหนดอุณหภูมิ $T(x,y,z,t)$ ภายในโดเมน Ω หรือที่ผิว Γ เงื่อนไขแบบนูนแมนน์ (Neumann Boundary Condition) คือ ฟลักซ์ความร้อนที่ถ่ายเทที่ผิว หรือเป็นการกำหนดเงื่อนไขขอบเขตแบบผสม (Mixed Boundary Condition) คือ การหาความร้อนในลักษณะต่าง ๆ รวมไปถึงการแผ่รังสีความร้อน ซึ่งเงื่อนไขขอบเขตที่เกี่ยวข้องสามารถสรุปได้ดังนี้

ค. 1 จุดกำหนดอุณหภูมิ

ในกรณีที่ไม่มีการพิจารณาถึงผลของการพาความร้อนที่ผิว การวิเคราะห์อาจจะทำการกำหนดอุณหภูมิที่ผิวของโครงสร้างให้มีค่าเท่ากับอุณหภูมิแวดล้อม (Ambient Temperature) ที่ได้จากการตรวจวัด ซึ่งจะมีการเปลี่ยนแปลงตามเวลา และหากในขั้นตอนการก่อสร้างมีการใช้ท่อน้ำระบายความร้อนฝังอยู่ในโครงสร้างก็สามารถกำหนดอุณหภูมิภายในให้มีค่าเท่ากับอุณหภูมิของผิวท่อน้ำโดยเฉลี่ยได้เช่นกัน

$$T(x,y,z,t)^{(\Gamma)} = T_s \quad (4-2)$$

$$T(x,y,z,t)^{(\Omega)} = T_{Pipe}(t) \quad (4-3)$$

t_a คือเวลาที่เริ่มพิจารณา T_{Pipe} คืออุณหภูมิที่ผิวของท่อระบายความร้อน

ค.2 ฟลักซ์ความร้อนที่ผิว

ในกรณีที่มีการให้ความร้อนที่ผิวของโครงสร้างโดยตรง หรือกำหนดให้ผิวปราศจากการถ่ายเทความร้อน (Insulating Surface) ดังเช่นในกรณีที่ยังไม่ได้ทำการถอดแบบหล่อของคอนกรีตในช่วงอายุต้น ๆ ทำให้การถ่ายเทความร้อนไม่สามารถเกิดขึ้นได้ ในกรณีนี้จะทำการกำหนดฟลักซ์ความร้อน q_s โดยตรง ดังสมการ

$$\underline{\underline{q}}^T \underline{\underline{n}} = -q_s \quad (4-4)$$

เมื่อ q_s คือฟลักซ์การไหลเข้าของความร้อน (Heat Flux) มีหน่วยเป็น $\text{Btu}/\text{ft}^2 \cdot \text{hr}$ มีค่าเป็นบวกเมื่อมีทิศทางพุ่งเข้าสู่ผิวของโครงสร้างซึ่งสวนกับค่าของฟลักซ์ความร้อนซึ่งมีทิศพุ่งออกจากผิว

ค.3 การพาความร้อนที่ผิว

การพาความร้อนโดยลม

นอกจากการถ่ายเทความร้อนภายในแล้ว ภายหลังจากทำการถอดแบบหล่อโครงสร้างคอนกรีตหยาบสามารถถ่ายเทความร้อนสู่บรรยากาศภายนอกได้โดยการพาความร้อนอันเนื่องมาจากลม ซึ่งจัดเป็นการพาความร้อนแบบอิสระ (Free Convection) โดยสมการเงื่อนไขขอบเขตสามารถเขียนได้ดังนี้

$$\tilde{q}^T \tilde{n} = h_c (T - T_\infty(t)) \quad (\text{ผ-5})$$

เมื่อ h_c คือสัมประสิทธิ์การพาความร้อน มีหน่วยเป็น $\text{Btu}/\text{ft}^2\text{-hr}\text{-}^\circ\text{F}$ ซึ่ง ASHRAE กำหนดให้มีค่าขึ้นกับทิศทางการพัดพา และความเร็วลม ซึ่งมีความสัมพันธ์ดังสมการ

สำหรับพื้นผิวที่ตั้งในแนวตั้งและขวางทิศทางลม

$$h_c = 0.99 + 0.31 v \quad (\text{ผ-6})$$

สำหรับผิวทั่วไป

$$h_c = 0.66 + 0.133 v \quad (\text{ผ-7})$$

เมื่อ v คือค่าเฉลี่ยความเร็วลม มีหน่วยเป็น ไมล์ต่อชั่วโมง

T_∞ คืออุณหภูมิของสภาวะแวดล้อมภายนอก ซึ่งโดยทั่วไปเมื่อใช้ช่วงเวลาพิจารณาที่มากพอสามารถจำลองให้มีลักษณะเป็นคลื่นไซน์ (Sine Wave) ซึ่งแปรผันระหว่างอุณหภูมิสูงสุดและต่ำสุดของวันได้ดังสมการ

$$T_\infty(t) = T_{ave} + A \sin \omega(t + t_\phi - t_{st}) \quad (\text{ผ-8})$$

เมื่อ T_{ave} คือค่าอุณหภูมิโดยเฉลี่ยของวัน และ A คือผลต่างของค่าอุณหภูมิที่ขึ้นสูงสุด (หรือต่ำสุด) กับค่าเฉลี่ย โดยค่าของ ω คือคาบการกลับ โดยปกติจะสมมติให้อุณหภูมิถึงจุดสูงสุดที่ตอนกลางวัน และต่ำสุดที่เวลาเที่ยงคืน จะได้ค่าของ ω เท่ากับ $\frac{\pi}{12}$ โดยที่ t_{st} และ t_ϕ คือ เวลาอ้างอิง และ เวลาเริ่มต้นของการคำนวณ ตามลำดับ

การพาความร้อนเนื่องจากกระเหยของน้ำที่ผิว

น้ำที่อยู่ในช่องว่างที่บริเวณใกล้กับผิวของคอนกรีตมีแนวโน้มที่จะเกิดการระเหยเนื่องจากการสะสมของพลังงานความร้อนและความแตกต่างของความดันภายในช่องว่างและความดันบรรยากาศ การระเหยของน้ำที่บริเวณผิวจะพาความร้อนออกไปจากคอนกรีตด้วย สมการเงื่อนไขขอบเขตของการพาความร้อนที่ผิวเนื่องจากการระเหยของน้ำภายในโครงสร้างคอนกรีตหยา สามารถแสดงได้ดังนี้

$$\underline{q^T}_n = K_D (h_s - h_a) \quad (4-9)$$

โดยที่

$$h_a = C_{pa} T_{\infty} + w_a h_{ga} = \text{Enthalpy ของอากาศชื้น (Btu / lb of dry air)}$$

$$h_s = C_{pa} T + w_s h_{gs} = \text{Enthalpy ของอากาศชื้นที่ผิว (Btu / lb of dry air)}$$

$$h_{ga} = 1061 + 0.441 T_{\infty} = \text{ความร้อนแฝงของการกลายเป็นไอของน้ำที่อุณหภูมิของอากาศ (Btu / lb)}$$

$$w_a, w_s = 0.622 \frac{H_u P_{ws}}{P_t - H_u P_{ws}} = \text{อัตราส่วนของน้ำหนักไอน้ำต่ออากาศของอากาศและที่ผิวตามลำดับ}$$

$$H_u = \text{ความชื้นสัมพัทธ์ของอากาศ}$$

$$P_t = \text{ความดันบรรยากาศ (atm)}$$

$$P_{ws} = 218.167 \times 10^{-B_0} = \text{ความดันอากาศชื้นของอากาศหรือที่ผิว (atm)}$$

$$K_D = h_c / C_{pm}$$

$$C_{pm} = (1 + w_a) C_{pa} = \text{ความร้อนจำเพาะของอากาศชื้น (Btu / lb - °F)}$$

$$C_{pa} = \text{ความร้อนจำเพาะของอากาศแห้ง} = 0.24 \text{ Btu / lb - °F}$$

$$U_1 = \text{อุณหภูมิของอากาศที่ผิว (°K)}$$

$$B_0 = \frac{B_2 (B_3 + B_4 B_1 + B_5 B_1^3)}{(1 + B_6 B_1)}$$

$$B_1 = 647.27 - U_1$$

$$B_2 = B_1 / U_1$$

$$B_3 = 3.2473814$$

$$B_4 = 5.66826 \times 10^{-3}$$

$$B_5 = 1.1702379 \times 10^{-8}$$

$$B_6 = 2.1878462 \times 10^{-3}$$

ค.4 การดูดกลืนและการแผ่รังสีความร้อน

ในโครงสร้างคอนกรีตบาง ผลของการถ่ายเทความร้อนเนื่องจากการดูดกลืนรังสีความร้อนจากดวงอาทิตย์มีส่วนสำคัญอย่างยิ่งต่อการเพิ่มอุณหภูมิ ซึ่งเป็นเหตุให้เกิดหน่วยแรงเหนี่ยวนำ (Induced Stress) ขึ้นภายในโครงสร้าง^[56] โดยปกติแล้ววัสดุสามารถดูดกลืนความร้อนจากการแผ่รังสีของดวงอาทิตย์ในรูปแบบของคลื่นสั้น ซึ่งมีเงื่อนไขขอบเขตแสดงได้ดังสมการ

$$\tilde{q}_r^T \tilde{n} = -\alpha q_r \quad (\text{M-10})$$

เมื่อ α คือสัมประสิทธิ์การดูดกลืนความร้อนของผิววัสดุ (absorptivity) และ q_r คือ ปริมาณความร้อนที่ตกกระทบ เนื่องจากการแผ่รังสี มีความสัมพันธ์กับช่วงเวลาที่ถูกแสงแดดใน 1 วัน โดยที่

$$q_r(t) = \frac{1.70 S}{T} \left[\frac{\sin^2 p + 2 \sin p}{3} \right] \quad (\text{M-11})$$

เมื่อ $p = \frac{\pi t}{T}$ เมื่อ $t_{AM} \leq t \leq t_{PM}$ และ

$q_r = 0$ เมื่อ $t \leq t_{AM}$ หรือ $t \geq t_{PM}$

โดย T คือช่วงเวลาที่ถูกแสงแดดใน 1 วัน และ S คือปริมาณแสงแดด มีหน่วยเป็น Btu/ft²-hr t_{AM}, t_{PM} คือ เวลาที่ดวงอาทิตย์ขึ้นและตก ตามลำดับ นอกจากนี้วัสดุยังสามารถแผ่รังสีออกในลักษณะของคลื่นยาว ซึ่งเขียนเงื่อนไขขอบเขตได้ดังสมการ

$$\tilde{q}_r^T \tilde{n} = \varepsilon \sigma (T_s^4 - \overline{T_\infty^4}) \quad (\text{M-12})$$

เมื่อ ε และ σ คือค่าสัมประสิทธิ์ของการเปล่งรังสี (emissivity) และ ค่าคงที่ของสเตฟาน-โบลต์ซมันน์ (Stefan-Boltzmann constant) $\overline{T_\infty^4}$ คืออุณหภูมิของตัวกลางสำหรับการแผ่รังสี

ในการวิเคราะห์จะไม่พิจารณาถึงผลของการแผ่รังสีความร้อนในรูปแบบของคลื่นยาวซึ่งเป็นการหลีกเลี่ยงปัญหาของความไม่เป็นเชิงเส้นของระบบสมการทำให้สามารถประดิษฐ์โปรแกรมคอมพิวเตอร์สำหรับการคำนวณได้โดยสะดวก อย่างไรก็ตามผลที่ได้จากการคำนวณจะอยู่ในเชิงปอดกภัยเนื่องจากเป็นผลที่ลดอุณหภูมิภายใน

ง. ผลของอัตราการใช้คอนกรีต

อัตราการใช้คอนกรีตมีผลอย่างยิ่งต่ออัตราการใช้คอนกรีตทั้งหมด ในการก่อสร้าง หากใช้อัตราการใช้คอนกรีตที่สูง จะทำให้ความร้อนสะสมที่เกิดขึ้นเนื่องจากคอนกรีตในแต่ละชั้นที่เทมีค่าสูงขึ้นอย่างรวดเร็วเนื่องจากผลของการกำเนิดความร้อนของคอนกรีต สำหรับคอนกรีตธรรมดาแล้ว นิยมที่จะทำการเทคอนกรีตโดยหยุดเทเป็นชั้น ๆ เพื่อลดผลของความร้อนสะสมที่เกิดขึ้น แต่สำหรับคอนกรีตผสมรวมตะกั่วซึ่งสามารถทำการมิกการควบคุมความแตกต่างของอุณหภูมิสูงสุดที่เกิดขึ้นได้สามารถทำการเทคอนกรีตได้อย่างต่อเนื่อง

จ. สมการไฟไนต์เอลิเมนต์

การสร้างสมการไฟไนต์เอลิเมนต์จะเป็นการแปลงสมการเชิงอนุพันธ์ควบคุมให้อยู่ในรูปแบบอย่างอ่อน (Weak Form) เพื่อนำมาใช้ในการวิเคราะห์แบบประมาณ ซึ่งสามารถทำได้โดยใช้หลักการแปรผัน (Variational

Method) หรือ โดยวิธีการถ่วงน้ำหนักเศษตกค้าง (Weight Residual Method) โดยในงานวิจัยได้เลือกใช้วิธีการถ่วงน้ำหนักเศษตกค้างแบบ บับโนฟ-กาเลอร์กิน (Bubnov-Galerkin) เพื่อสร้างสมการไฟไนต์เอลิเมนต์ขึ้นโดยตรงจากสมการเชิงอนุพันธ์ควบคุมและเงื่อนไขขอบเขตต่าง ๆ ที่เกี่ยวข้อง สมมติให้การกระจายอุณหภูมิที่จุดใด ๆ ภายในเอลิเมนต์มีความสัมพันธ์กับอุณหภูมิที่จุดต่อดังสมการ

$$\begin{aligned} T(x,y,z,t) &= \{N_1, N_2, \dots, N_r\} T(t) \\ T(x,y,z,t) &= \underline{N}(x,y,z) T(t) \end{aligned} \quad (ผ-13)$$

โดย $\underline{N}(x,y,z)$ คือฟังก์ชันรูปร่างของการกระจายอุณหภูมิภายในเอลิเมนต์ และ $T(t)$ คือค่าของอุณหภูมิที่จุดต่อของเอลิเมนต์ และความสัมพันธ์ระหว่างค่าเกรเดียนท์ของอุณหภูมิ และค่าของอุณหภูมิที่จุดต่อ สามารถเขียนได้ดังสมการ

$$\left\{ \frac{\partial T}{\partial x}, \frac{\partial T}{\partial y}, \frac{\partial T}{\partial z} \right\}^T = \underbrace{\left\{ \frac{\partial}{\partial x}, \frac{\partial}{\partial y}, \frac{\partial}{\partial z} \right\}^T}_{\underline{B}} \underline{N} T(t) \quad (ผ-14)$$

จากวิธีการของ บับโนฟ-กาเลอร์กิน กำหนดให้ใช้ฟังก์ชันถ่วงน้ำหนักเป็นฟังก์ชันรูปร่างของเอลิเมนต์ จะได้

$$\int_{\Omega(e)} \left(\nabla \cdot \underline{q} - Q + \rho c \frac{\partial T}{\partial t} \right) N^T d\Omega = 0 \quad (ผ-15)$$

เมื่อกระจายสมการที่ (ผ-15) และทำการอินทิเกรตทีละส่วน โดยทฤษฎีบทของเกาส์ จะได้

$$\int_{\Gamma(e)} (\underline{q}^T \cdot \underline{n}) N^T d\Gamma - \int_{\Omega(e)} \underline{B}^T \underline{q} d\Omega - \int_{\Omega(e)} Q N^T d\Omega + \int_{\Omega(e)} \rho c N^T d\Omega \frac{\partial T}{\partial t} = 0 \quad (ผ-16)$$

จากกฎของฟูเรียร์ (Fourier's Law) สามารถแสดงความสัมพันธ์ระหว่างค่าเวกเตอร์ของสนามความร้อน \underline{q} และเกรเดียนท์ของอุณหภูมิ ได้ดังสมการ

$$\underline{q} = -\underline{k} \left\{ \frac{\partial T}{\partial x}, \frac{\partial T}{\partial y}, \frac{\partial T}{\partial z} \right\}^T \quad (ผ-17)$$

เมื่อ \underline{k} คือเมตริกของการนำความร้อนของเอลิเมนต์ สำหรับวัสดุแอนไอโซทรอปิก (Anisotropic) จะได้

$$\underline{k} = \begin{bmatrix} k_{xx} & k_{xy} & k_{xz} \\ k_{yx} & k_{yy} & k_{yz} \\ k_{zx} & k_{zy} & k_{zz} \end{bmatrix} \quad (ผ-18)$$

และหากพิจารณาให้วัสดุมีคุณสมบัติเหมือนกันในทุกทิศทาง (Isotropic) จะได้เมตริก \underline{k} ซึ่งสามารถเขียนให้อยู่ในรูปอย่างง่ายได้ดังนี้

$$\underline{k} = \begin{bmatrix} k & 0 & 0 \\ 0 & k & 0 \\ 0 & 0 & k \end{bmatrix} \quad (\text{ผ-19})$$

เมื่อ k คือสัมประสิทธิ์ของการนำความร้อน ของวัสดุ มีหน่วยเป็น Btu/ ft-hr-°F แทนสมการที่สมการที่ (ผ-20) ในสมการที่ (ผ-14) สามารถเขียนได้ดังนี้

$$\underline{q} = -\underline{k} \underline{B} \underline{T}(t) \quad (\text{ผ-20})$$

แทนสมการที่ (ผ-20) ลงในสมการที่ (ผ-16) จะได้

$$\int_{\Gamma(e)} (\underline{q}^T \underline{n}) \underline{N}^T d\Gamma + \int_{\Omega(e)} \underline{B}^T \underline{k} \underline{B} d\Omega \underline{T} - \int_{\Omega(e)} \underline{Q} \underline{N}^T d\Omega + \int_{\Omega(e)} \rho c \underline{N}^T \underline{N} d\Omega \frac{\partial T}{\partial t} \quad (\text{ผ-21})$$

พจน์แรกของสมการที่ (ผ-21) แทนปริมาณความร้อนที่ถ่ายเทผ่านผิวของเอลิเมนต์ตั้งที่ได้กล่าวไว้ในหัวข้อ ค. ซึ่งเมื่อแทนด้วยการถ่ายเทความร้อนในลักษณะต่าง ๆ จะได้สมการไฟไนต์เอลิเมนต์อยู่ในรูปแบบดังนี้

$$\int_{\Gamma(e)} h_c (T_s - T_\infty) \underline{N}^T d\Gamma + \int_{\Gamma(e)} (\epsilon \sigma (T_s^4 - T_\infty^4) \alpha q_r) \underline{N}^T d\Gamma - \int_{\Gamma(e)} q_s \underline{N}^T d\Gamma + \int_{\Omega(e)} \underline{B}^T \underline{k} \underline{B} d\Omega \underline{T} - \int_{\Omega(e)} \underline{Q} \underline{N}^T d\Omega + \int_{\Omega(e)} \rho c \underline{N}^T \underline{N} d\Omega \frac{\partial T}{\partial t} + \int_{\Gamma(e)} K_D (h_s - h_a) \underline{N}^T d\Gamma = 0 \quad (\text{ผ-22})$$

เมื่อแทนค่าของ $T_s = \underline{N} \underline{T}$ จะสามารถจัดรูปสมการที่ (ผ-22) ได้เป็น

$$\underline{C} \dot{\underline{T}} + \underbrace{[\underline{K}_c + \underline{K}_h + \underline{K}_r]}_{\underline{K}_T} \underline{T} = \underline{Q}_Q + \underline{Q}_q + \underline{Q}_h + \underline{Q}_r \quad (\text{ผ-23})$$

โดยที่

$$\underline{C} = \int_{\Omega(e)} \rho c \underline{N}^T \underline{N} d\Omega \quad (\text{ผ-24})$$

$$\underline{K}_c = \int_{\Omega(e)} \underline{B}^T \underline{k} \underline{B} d\Omega \quad (\text{ผ-25})$$

$$\underline{\underline{K}}_h = \int_{S_3} h_c \underline{\underline{N}}^T \underline{\underline{N}} d\Gamma + \int_{S_3} K_D C_{pa} \underline{\underline{N}}^T \underline{\underline{N}} d\Gamma \quad (\mu - 26)$$

$$\underline{\underline{K}}_r = \int_{S_4} \epsilon \sigma T^3 \underline{\underline{N}}^T \underline{\underline{N}} d\Gamma \quad (\mu - 27)$$

$$\underline{\underline{Q}}_c = - \int_{S_1} (q^T \underline{\underline{n}}) \underline{\underline{N}}^T d\Gamma \quad (\mu - 28)$$

$$\underline{\underline{Q}}_q = \int_{S_2} q_s \underline{\underline{N}}^T d\Gamma \quad (\mu - 29)$$

$$\underline{\underline{Q}}_h = \int_{S_3} h_c T_\infty \underline{\underline{N}}^T d\Gamma + \int_{S_3} K_D (h_a - w_s h_{gs}) \underline{\underline{N}}^T d\Gamma \quad (\mu - 30)$$

$$\underline{\underline{Q}}_r = \int_{S_4} (\epsilon \sigma T_\infty^4 + \alpha q_r) \underline{\underline{N}}^T d\Gamma \quad (\mu - 31)$$

$$\underline{\underline{Q}}_Q = \int_{\Omega(\epsilon)} Q \underline{\underline{N}}^T d\Omega \quad (\mu - 32)$$

สมการที่ (μ - 32) เป็นเวกเตอร์ที่เกิดขึ้นจากผลของการกำเนิดความร้อนภายในโครงสร้างคอนกรีตหลายในสภาวะกักกันความร้อน โดยที่ Q เป็นอัตราการผลิตพลังงานความร้อนต่อหน่วยปริมาตร ต่อหน่วยเวลา มีหน่วยเป็น Btu/ ft³-hr จากการศึกษาในหัวข้อที่ 3.2.3 สามารถสร้างสมการสำหรับทำนายอุณหภูมิเพิ่มแบบกักกันความร้อนได้ดังสมการ

$$T(t) = K(1 - e^{-at}) \quad (3.17)$$

เมื่อ
$$a = e^{(2.2 \times 10^{-12} T_o^{7.3} + 0.5)} \quad (3.19)$$

โดยที่ K คือค่าอุณหภูมิเพิ่มสูงสุดจากการทดสอบแบบกักกันความร้อน คุณด้วยตัวประกอบปรับแก้มีค่าเท่ากับ 1.7 และ ค่าของสัมประสิทธิ์ a คืออัตราการเพิ่มอุณหภูมิต่อวัน ขึ้นกับอุณหภูมิเริ่มแรกของคอนกรีต ทั้งนี้การเพิ่มขึ้นของอุณหภูมิในสภาวะกักกันความร้อนมีความสัมพันธ์กับเวลาที่ผ่านไป โดยนิยาม สามารถเขียนความสัมพันธ์ระหว่าง Q และอุณหภูมิเพิ่มแบบกักกันความร้อนได้ดังสมการ

$$Q = \frac{\rho c (T_n - T_{n-1})}{\Delta t} \quad (\mu - 33)$$

หรือ
$$Q = \frac{1}{\Delta t} \rho c K (e^{-at_{n-1}} - e^{-at_n}) \quad (\mu - 34)$$

เมื่อ Δt คือช่วงเวลาเพิ่มขึ้นที่ใช้ในการวิเคราะห์ ซึ่งเมื่อแทนสมการที่ (μ-34) ในสมการที่ (μ-32) จะได้โหนดเวกเตอร์ Q ซึ่งจะกระจายผลของการผลิตความร้อนในคอนกรีตไปยังข้อต่อต่าง ๆ ของเอลิเมนต์ ซึ่งสามารถนำไปใช้ในการวิเคราะห์ได้ต่อไป

ในการวิเคราะห์ปัญหาการถ่ายเทความร้อนแบบเชิงเส้นในสภาวะไม่ยู่ตัว (Transient State) จะต้องทำการแปลงสมการที่ (ผ-23) ให้อยู่ในรูปของสมการดีกรี 1 โดยวิธีการความสัมพันธ์เวียนบังเกิด (Recurrence relation) จะได้ว่า ค่าอัตราการเปลี่ยนแปลงอุณหภูมิที่จุดต่อที่เวลา θ ใด ๆ เมื่อ $0 \leq \theta \leq 1$ โดยประมาณ เท่ากับ

$$\underline{\dot{T}} \cong \frac{\underline{T}_n - \underline{T}_{n-1}}{\Delta t} \quad (\text{ผ-35})$$

และค่าอุณหภูมิที่จุดต่อที่เวลา θ ใด ๆ ประมาณเท่ากับ

$$\underline{T} \cong (1-\theta)\underline{T}_{n-1} + \theta \underline{T}_n \quad (\text{ผ-36})$$

นอกจากนี้ หากไหลเดกเดอ์ทางขวามือของสมการที่ (ผ-23) เปลี่ยนแปลงไปตามเวลาจะได้

$$\underline{Q} = (1-\theta)\underline{Q}_{n-1} + \theta \underline{Q}_n \quad (\text{ผ-37})$$

แทนค่าสมการที่ (ผ-32) (ผ-33) และ (ผ-34) ลงในสมการที่ (ผ-20)

$$\left(\frac{1}{\Delta t} \underline{C} + \theta \underline{K} \right) \underline{T}_n = \left(\frac{1}{\Delta t} \underline{C} - (1-\theta) \underline{K} \right) \underline{T}_{n-1} + (1-\theta) \underline{Q}_{n-1} + \theta \underline{Q}_n \quad (\text{ผ-38})$$

โดยสมการที่ (ผ-38) ต้องการเงื่อนไขเริ่มต้นคือ

$$T(x,y,z,0) = T_0(x,y,z) \quad (\text{ผ-39})$$

ในกรณีที่ใช้ค่าของ $\theta < \frac{1}{2}$ อาจจะทำให้เกิดความไม่มีเสถียรภาพเชิงเลข (Numerical Instability) กล่าวคือ คำตอบจะลู่ออกแบบไร้ขีดจำกัด (Unbound Solution) ในการวิเคราะห์ควรใช้ช่วงเวลา Δt ไม่เกินกว่าช่วงเวลาวิกฤติ (Δt_{cr}) ซึ่งสามารถคำนวณได้ดังสมการ

$$\Delta t_{cr} = \frac{2}{(1-2\theta) \lambda_{max}} \quad (\text{ผ-40})$$

เมื่อ λ_{max} คือค่าไอเกนส์ (eigenvalue) ที่ใหญ่ที่สุดของสมการ

$$\left[\underline{K}_T - \lambda \underline{C} \right] \underline{\bar{T}} = 0 \quad (\text{ผ-41})$$

โดยที่ $\underline{\phi}^T \underline{C} \underline{\phi} = 1$ เมื่อ $\underline{\phi}$ คือ Normalized eigenvector ของระบบ

อย่างไรก็ตามเพื่อเป็นการหลีกเลี่ยงปัญหาความไม่เสถียรอย่างมีเงื่อนไข (Conditional Unstability) ในการคำนวณ จะใช้วิธีของ แครงก์-นิโคลสัน (Crank-Nicolson) ซึ่งกำหนดให้ $\theta = 1/2$ จะได้

$$\underbrace{\left(\frac{1}{\Delta t} \underline{C} + \frac{1}{2} \underline{K} \right)}_{KSYS} \underline{T}_n = \underbrace{\left(\frac{1}{\Delta t} \underline{C} - \frac{1}{2} \underline{K} \right)}_{QSYS} \underline{T}_{n-1} + \frac{1}{2} (\underline{Q}_{n-1} + \underline{Q}_n) \quad (42)$$

โดยค่าที่ได้จะเป็นขีดจำกัดบนของการวิเคราะห์ เมื่อทราบคำตอบของค่าอุณหภูมิที่จุดต่อ ณ รอบการคำนวณที่ $n-1$ และจากช่วงเวลา Δt ที่กำหนด สามารถทำการคำนวณหาผลลัพธ์ ณ รอบการคำนวณที่ n ได้

จ. เอลิเมนต์ที่ใช้ในการวิเคราะห์

ในการวิเคราะห์นี้ได้เลือกใช้เอลิเมนต์สามเหลี่ยมแบบความเครียดคงที่ (Constant Strain Triangle, CST) ซึ่งสามารถที่จะคำนวณสติฟเนสเมตริก \underline{K} ของเอลิเมนต์ให้อยู่ในรูปแบบปิด (Closed Form) ได้ นับเป็นการสะดวกต่อการสร้างโปรแกรมคอมพิวเตอร์สำหรับทำการวิเคราะห์ เมื่อพิจารณาเอลิเมนต์สามเหลี่ยมดังรูปที่ ๒.2 ซึ่งมีตัวแปรไม่รู้ค่าที่จุดต่อละ 1 ค่า โดยสมมุติลักษณะการกระจายแบบประมาณของอุณหภูมิบนแผ่นเรียบดังสมการ

$$\phi(x,y) = \alpha_1 + \alpha_2 x + \alpha_3 y \quad (43)$$

หรือ

$$\phi(x,y) = \underbrace{\begin{bmatrix} 1 & x & y \end{bmatrix}}_{\underline{f}^T} \underbrace{\begin{bmatrix} \alpha_1 \\ \alpha_2 \\ \alpha_3 \end{bmatrix}}_{\underline{\alpha}}$$

หากพิจารณาค่าของ ϕ ที่จุดต่อต่าง ๆ จะได้

$$\begin{bmatrix} \phi_1 \\ \phi_2 \\ \phi_3 \end{bmatrix} = \underbrace{\begin{bmatrix} 1 & x_1 & y_1 \\ 1 & x_2 & y_2 \\ 1 & x_3 & y_3 \end{bmatrix}}_{\underline{G}} \begin{bmatrix} \alpha_1 \\ \alpha_2 \\ \alpha_3 \end{bmatrix} \quad (44)$$

จะได้

$$\phi(x,y) = \underbrace{\underline{f}^T}_{\underline{N}} \underbrace{\underline{G}^{-1}}_{\underline{\alpha}} \underline{\phi} \quad (45)$$

เมื่อ

$$\underline{N} = \{N_1 \ N_2 \ N_3\} \quad \text{โดยที่} \quad N_i = \frac{1}{2A} (a_i + b_i x + c_i y) \quad i=1,2,3$$

$$A = \text{พื้นที่ของเอลิเมนต์สามเหลี่ยม} = \frac{1}{2} [x_2(y_3 - y_1) + x_1(y_2 - y_3) + x_3(y_1 - y_2)] \quad (46)$$

$$\begin{aligned}
 a_1 &= x_2 y_3 - x_3 y_2 & b_1 &= y_2 - y_3 & c_1 &= x_3 - x_2 \\
 a_2 &= x_3 y_1 - x_1 y_3 & b_2 &= y_3 - y_1 & c_2 &= x_1 - x_3 \\
 a_3 &= x_1 y_2 - x_2 y_1 & b_3 &= y_1 - y_2 & c_3 &= x_2 - x_1
 \end{aligned}
 \tag{ผ-47}$$

ดังนั้น

$$\begin{aligned}
 \tilde{B} &= \begin{bmatrix} \frac{\partial}{\partial x} \\ \frac{\partial}{\partial y} \end{bmatrix} \{N_1 \ N_2 \ N_3\} = \begin{bmatrix} \frac{\partial N_1}{\partial x} & \frac{\partial N_2}{\partial x} & \frac{\partial N_3}{\partial x} \\ \frac{\partial N_1}{\partial y} & \frac{\partial N_2}{\partial y} & \frac{\partial N_3}{\partial y} \end{bmatrix} \\
 &= \frac{1}{2A} \begin{bmatrix} b_1 & b_2 & b_3 \\ c_1 & c_2 & c_3 \end{bmatrix}
 \end{aligned}
 \tag{ผ-48}$$

จากสมการที่ (ผ-24) ถึง (ผ-32) จะได้

$$\tilde{C} = \frac{\rho c A t}{12} \begin{bmatrix} 2 & 1 & 1 \\ 1 & 2 & 1 \\ 1 & 1 & 2 \end{bmatrix}
 \tag{ผ-49}$$

$$\tilde{K}_c = \frac{kt}{4A} \begin{bmatrix} b_1 b_1 + c_1 c_1 & b_1 b_2 + c_1 c_2 & b_1 b_3 + c_1 c_3 \\ b_2 b_2 + c_2 c_2 & b_2 b_3 + c_2 c_3 \\ b_3 b_3 + c_3 c_3 \end{bmatrix}
 \begin{matrix} \\ \\ SYM \end{matrix}
 \tag{ผ-50}$$

$$\tilde{K}_h = \frac{h_c L_{1-2} t}{6} \begin{bmatrix} 2 & 1 & 0 \\ 1 & 2 & 0 \\ 0 & 0 & 0 \end{bmatrix}
 \begin{matrix} \\ \\ \text{สำหรับเอลิเมนต์ที่มีการพาความร้อนตลอดผิว 1-2} \end{matrix}
 \tag{ผ-51}$$

$$\tilde{K}_{h,ev} = \frac{K_D C_{pa} L_{1-2} t}{6} \begin{bmatrix} 2 & 1 & 0 \\ 1 & 2 & 0 \\ 0 & 0 & 0 \end{bmatrix}
 \begin{matrix} \\ \\ \text{สำหรับเอลิเมนต์ที่มีการระเหยของน้ำตลอดผิว 1-2} \end{matrix}
 \tag{ผ-52}$$

$$\tilde{Q}_Q = \frac{QA t}{3} \begin{bmatrix} 1 \\ 1 \\ 1 \end{bmatrix}
 \tag{ผ-53}$$

$$\tilde{Q}_q = \frac{q_s L_{1-2} t}{2} \begin{bmatrix} 1 \\ 1 \\ 0 \end{bmatrix}
 \begin{matrix} \\ \\ \text{สำหรับเอลิเมนต์ที่ให้ฟลักซ์ความร้อนตลอดผิว 1-2} \end{matrix}
 \tag{ผ-54}$$

$$\tilde{Q}_h = \frac{h_c T_\infty L_{1-2} t}{2} \begin{bmatrix} 1 \\ 1 \\ 0 \end{bmatrix}
 \begin{matrix} \\ \\ \text{สำหรับเอลิเมนต์ที่มีการพาความร้อนตลอดผิว 1-2} \end{matrix}
 \tag{ผ-55}$$

$$\underline{Q}_{h,ev} = \frac{K_D(h_a - w_s h_{gs}) L_{1-2} t}{2} \begin{bmatrix} 1 \\ 1 \\ 0 \end{bmatrix}$$

สำหรับเอลิเมนต์ที่มีการระเหยของน้ำตลอดผิว 1-2

(ผ-56)

$$\underline{Q}_r = \frac{\alpha q_r L_{1-2} t}{2} \begin{bmatrix} 1 \\ 1 \\ 0 \end{bmatrix}$$

สำหรับเอลิเมนต์ที่มีการดูดกลืนรังสีความร้อนตลอดผิว 1-2

(ผ-57)

ข. โปรแกรมคอมพิวเตอร์

การวิเคราะห์การถ่ายเทความร้อนภายในโครงสร้างคอนกรีตหลายในสภาวะไม่อยู่ตัวจะใช้โปรแกรม HEAT2DT ซึ่งพัฒนาขึ้นโดยหลักการทั้งหมดที่ได้กล่าวไว้ข้างต้น โดยทำการปรับเปลี่ยนเพิ่มเติมลำดับการทำงาน จากโปรแกรม HEAT2D ของ ศ.ดร.ปราโมทย์ เดชะอำไพ^[67] ซึ่งเป็นโปรแกรมสำหรับวิเคราะห์การถ่ายเทความร้อนในสภาวะอยู่ตัว (Steady-State Heat Transfer) โดยมีลำดับการทำงานหลักของโปรแกรม แสดงได้ดังรูปที่ ผ-3 ซึ่งแต่ละส่วนทำหน้าที่ต่าง ๆ ดังนี้

โปรแกรมหลัก

ทำหน้าที่รับข้อมูลและค่าตัวแปรที่เกี่ยวข้องกับเงื่อนไขขอบเขตต่าง ๆ ได้แก่ คุณสมบัติของคอนกรีต อุณหภูมิเพิ่มแบบกักกันความร้อนสูงสุด สภาพทางอุตุนิยมวิทยาที่เกี่ยวข้อง ช่วงเวลาสังเกตการณ์ ส่วนเพิ่มของเวลา และเวลาที่ต้องการแสดงผล ข้อมูลกำหนดรหัสการสร้างของจุดต่อ และเอลิเมนต์ โดยทำการเรียกโปรแกรมย่อยต่าง ๆ ซึ่งทำหน้าที่ในการสร้าง โคออดิเนตของจุดต่อ และ รหัสการต่อเชื่อมเอลิเมนต์ ดังกล่าว และจุดกำหนดอุณหภูมิที่เป็น FIXED POINT และเงื่อนไขขอบเขตอื่น ๆ ที่เกี่ยวข้องแบ่งตามประเภท ภายหลังจากที่โปรแกรมรับข้อมูลแล้วจะทำการคำนวณขนาดครึ่งความกว้างแบนด์ของสติฟเนสเมตริก (Half Band Width) เพื่อกำหนดรอบการทำงานในการสำหรับ จัดเก็บข้อมูลและการประมวลผล

โปรแกรมย่อย

NODEGEN - สร้างข้อมูลตำแหน่งของจุดต่อ ตามรหัสของการสร้างข้อมูล

ELEMGEN - สร้างข้อมูลรหัสการเชื่อมต่อของเอลิเมนต์ ตามรหัสของการสร้างข้อมูล

FIXEDTEMP - กำหนดอุณหภูมิที่ทราบค่าที่จุดต่อ

TEMPINITIAL - กำหนดค่าอุณหภูมิเริ่มต้นที่จุดต่อ

TRI - คำนวณเอลิเมนต์เมตริกซ์ต่าง ๆ ที่เกี่ยวข้องกับชนิดของการถ่ายเทความร้อนที่เกิดขึ้นรวมทั้งโหนดเวกเตอร์ที่เกี่ยวข้อง และ ผลของความไม่เสถียรของการถ่ายเทความร้อน

WINDCONVECGEN- สร้างโหนดเวกเตอร์ และสติฟเนสเมตริกของเอลิเมนต์เนื่องจากผลของการพาความร้อนโดยลม

EVAPOGEN - สร้างโหนดเวกเตอร์ และสติฟเนสเมตริกของเอลิเมนต์เนื่องจากผลของการพาความร้อนโดยการระเหย

ABSORPGEN - สร้างโหนดเวกเตอร์ ของเอลิเมนต์เนื่องจากผลของการดูดกลืนรังสีจากดวงอาทิตย์

HEATGEN - สร้างโหนดเวกเตอร์ เนื่องจากผลของการกำเนิดความร้อนภายในเอลิเมนต์

ASSMBLE - ทำการจัดเก็บโหนดเวกเตอร์ และ สติฟเนสเมตริกอย่างเป็นระบบในรูปแบบของ Banded Symmetric Matrix เพื่อเป็นการประหยัดหน่วยความจำ

APPLYBC - กำหนดเงื่อนไขขอบเขตแบบจำเป็นของสมการ คือ การกำหนดจุดหนีจุด FIXED POINT โดยใช้วิธีการกำจัด (Elimination Approach) เพื่อจัดเตรียมระบบสมการสำหรับหาค่าผลลัพธ์ต่อไป

SOLVE - แก้ปัญหาระบบสมการโดยใช้วิธีการกำจัดของเกาส์ (Gauss Elimination) เพื่อหาค่าของจุดหนีจุดต่าง ๆ โดยผลลัพธ์ที่ได้จะนำไปใช้คำนวณโหนดเวกเตอร์สำหรับการคำนวณในรอบต่อไป

ข. ลักษณะข้อมูลที่ต้องการ และ รูปแบบผลลัพธ์ของการคำนวณ

ส่วนประกอบ และ รูปแบบข้อมูลที่โปรแกรมต้องการสามารถสรุปได้ดังต่อไปนี้

ส่วนที่ 1 หัวเรื่อง และคำอธิบาย

บรรทัดแรก ตัวเลขระบุจำนวนบรรทัดที่เป็นหัวเรื่อง
 บรรทัดต่อไป ประโยคต่าง ๆ ที่มีจำนวนบรรทัดเท่ากับที่ระบุไว้
 ตัวอย่างเช่น : 2

MAT FOUNDATION

UNIT FARENHIDE METER LBS HR

ส่วนที่ 2 กำหนดขนาดของปัญหาที่ทำการวิเคราะห์

บรรทัดแรก คำย่อกำหนดความหมายของตัวแปรต่าง ๆ
 บรรทัดที่ 2 ค่าตัวเลขแสดงจำนวนจุดต่อ จำนวนเอลิเมนต์ จำนวนชนิดของวัสดุ ระยะเวลาสังเกตการณ์ ค่าเพิ่มของช่วงเวลาวิเคราะห์ ช่วงเวลาสำหรับพิมพ์ผลลัพธ์ ค่าสัมประสิทธิ์การพาความร้อนตลอดหน้าตัด อัตราการให้ความร้อน ค่าอุณหภูมิแวดล้อมโดยเฉลี่ย ครึ่งผลต่างของ

อุณหภูมิแวดล้อมสูงสุดและต่ำสุด เวลาที่เริ่มทำการวิเคราะห์ ค่าควบคุมการอ่านข้อมูลอุณหภูมิ
แวดล้อมจากไฟล์ข้อมูล

ตัวอย่าง: NPOIN NELEM NMAT TO DT TP H QS TMEAN HDIFF TST AMT
286 504 3 432 2 6 0 0 89.6 9 7 0

หมายเหตุ: AMT = 1 เมื่อต้องการอ่านข้อมูลของอุณหภูมิแวดล้อมจากไฟล์ข้อมูล
AMT = 0 เมื่อให้โปรแกรมจำลองอุณหภูมิของแวดล้อมโดยอัตโนมัติ (ดูสมการที่ ๘-8)

ส่วนที่ 3 คุณสมบัติต่างๆ ของปัญหา

บรรทัดแรก หัวข้อ
บรรทัดที่ 2 คำย่อกำหนดความหมายตัวแปรต่าง ๆ
บรรทัดต่อไป ตัวเลขแสดงหมายเลขระบุชนิดของวัสดุ สัมประสิทธิ์การนำความร้อนในทิศทางหลัก อุณหภูมิ
เพิ่มแบบกักกันความร้อนสูงสุด อุณหภูมิเริ่มต้นขณะเทคอนกรีต ความหนาของเอลิเมนต์ (ให้ค่า
เป็น 1 สำหรับปัญหาความเครียดระนาบ) ความหนาแน่นมวล ค่าความร้อนจำเพาะช่วงเวลา
คอนกรีตเข้าสู่แบบหล่อก่อนเริ่มทำการวิเคราะห์

ตัวอย่าง: \$ MATERIAL PROPERTIES
MAT K PEAK TPOUR THICK DENS C NTLAG
1 0.81 98.06 93.2 1 150 0.23 18
2 0.81 98.06 93.2 1 150 0.23 12

ส่วนที่ 4 พิกัดของจุดต่อ

บรรทัดแรก หัวข้อ
บรรทัดที่ 2 คำย่อของการสร้างข้อมูล และจำนวนจุดข้อมูล
บรรทัดที่ 3 ข้อมูลตรรกกำหนดรหัสสร้างข้อมูล จำนวนแถวของรหัส
บรรทัดต่อไป คำย่อกำหนดความหมายตัวแปรต่าง ๆ
บรรทัดต่อไป หมายเลขของจุดต่อเริ่มต้น หมายเลขจุดต่อปลาย ค่าเพิ่มของหมายเลขจุดต่อ พิกัดเริ่มในแนว
แกน X ค่าเพิ่มของระยะทางในแนวแกน X พิกัดเริ่มในแนวแกน Y ค่าเพิ่มของระยะทางในแนว
แกน Y
บรรทัดต่อไป โหมดการเพิ่มจุดต่อ ต้องกำหนดให้มีค่า เป็น .TRUE. เมื่อต้องการเพิ่มจุดต่อ และกำหนดจำนวน
จุดต่อที่ต้องการเพิ่ม

ตัวอย่าง: \$ NODAL COORDINATES
GEN NROW
.TRUE. 2
NST NEN NINC STX DX STY DY
1 22 1 0 0.4 0 0

```

23      44      1      0      0.4      0.4      0
$ ADD NODES
ADD      NADD
.TRUE.   1
NODE    X-COOR  Y-COOR
45      0      0.8

```

หมายเหตุ : เมื่อไม่ต้องการเพิ่มค่าจุดต่อ ให้กำหนดตัวแปร ADD ให้มีค่าเป็น .FALSE. และไม่ต้องใส่บรรทัดที่เหลือ

ส่วนที่ 5 กำหนดจุดที่ทราบค่าอุณหภูมิ

บรรทัดแรก หัวข้อ
 บรรทัดที่ 2 ค่าระบุจำนวนจุดข้อมูล
 บรรทัดที่ 3 ค่าระบุจำนวนจุดข้อมูล
 บรรทัดที่ 4 ค่าข้อกำหนดความหมายตัวแปรต่าง ๆ
 บรรทัดที่ ค่าหมายเลขจุดต่อเริ่มต้นของชุดข้อมูล หมายเลขจุดต่อสุดท้าย ค่าเพิ่มหมายเลขจุดต่อ และอุณหภูมิที่ทราบค่าที่จุดต่อ

ตัวอย่าง : \$ APPLY NODAL FIXED TEMPERATURE
 NOSET
 1
 NST NEN NINC TEMP
 1 10 2 96

หมายเหตุ : ในกรณีที่ต้องการให้โปรแกรมทำการคำนวณผลลัพธ์ที่ทุก ๆ จุดต่อ ให้กำหนดค่าของ NOSET มีค่าเป็น 0 และไม่ต้องใส่ข้อมูลในบรรทัดต่อ ๆ ไป

ส่วนที่ 6 กำหนดค่าอุณหภูมิเริ่มต้นของจุดต่อ

บรรทัดแรก หัวข้อ
 บรรทัดที่ 2 ค่าระบุจำนวนจุดข้อมูล
 บรรทัดที่ 3 ค่าระบุจำนวนจุดข้อมูล
 บรรทัดที่ 4 ค่าข้อกำหนดความหมายตัวแปรต่าง ๆ
 บรรทัดที่ ค่าหมายเลขจุดต่อเริ่มต้นของชุดข้อมูล หมายเลขจุดต่อสุดท้าย ค่าเพิ่มหมายเลขจุดต่อ และอุณหภูมิเริ่มต้นของการคำนวณ

ตัวอย่าง : \$ INITIAL TEMPERATURE AT NODES
 NOSET
 1
 NST NEN NINC TEMPO

1 286 1 86

หมายเหตุ : ในการวิเคราะห์ปัญหาการถ่ายเทความร้อนแบบไม่อยู่ตัว ต้องกำหนดค่าอุณหภูมิเริ่มต้นของจุดต่อเสมอ

ส่วนที่ 7 คุณสมบัติของเอลิเมนต์

บรรทัดแรก คำย่อกำหนดความหมายของตัวแปรต่าง ๆ

บรรทัดที่ 2 หมายเลขเอลิเมนต์เริ่มต้น หมายเลขเอลิเมนต์สุดท้าย ค่าเพิ่มหมายเลขของเอลิเมนต์ จุดต่อที่ 1 และ 3 ของเอลิเมนต์แรก ตามลำดับ ค่าเพิ่มหมายเลขจุดต่อที่ 1 2 และ 3 ตามลำดับ รหัสชนิดของวัสดุ รหัสของการกำเนิดความร้อนได้เองของเอลิเมนต์ การให้ความร้อนที่ผิวจากภายนอก และการพาความร้อนตลอดหน้าตัด

บรรทัดต่อ ๆ ไป โหมดการเพิ่มจุดต่อ ต้องกำหนดให้มีค่า เป็น .TRUE. เมื่อต้องการเพิ่มจุดต่อ และกำหนดจำนวนจุดต่อที่ต้องการเพิ่ม

ตัวอย่าง :

EST	EEN	EINC	II	JJ	KK	DII	DJJ	DKK	MAT	Q	QS	H
1	39	2	1	24	23	1	1	1	1	1	0	0
2	40	2	1	2	24	1	1	1	1	1	0	0

\$ ADD ELEMENT

ADD NADD

.TRUE. 2

ELE	II	JJ	KK	MAT	Q	QS	H
41	21	22	43	1	1	0	0
42	22	44	43	1	1	0	0

หมายเหตุ : รหัสของรหัสของการกำเนิดความร้อนได้เองของเอลิเมนต์ การให้ความร้อนที่ผิวจากภายนอก และการพาความร้อนตลอดหน้าตัด ให้มีค่าเป็น 1 เมื่อต้องการให้มีโหนดชนิดนั้น ๆ และ 0 เมื่อไม่มีโหนดประเภทนั้น ๆ

ส่วนที่ 8 การพาความร้อนที่ขอบของเอลิเมนต์โดยลม

บรรทัดแรก หัวข้อ

บรรทัดที่ 2 คำย่อของการสร้างข้อมูล และจำนวนจุดข้อมูล

บรรทัดที่ 3 ข้อมูลตรรกกำหนดรหัสสร้างข้อมูล จำนวนแถวของรหัส

บรรทัดที่ 4 คำย่อกำหนดความหมายตัวแปรต่าง ๆ

บรรทัดที่ 5 หมายเลขเอลิเมนต์เริ่มต้น หมายเลขเอลิเมนต์สุดท้าย ค่าเพิ่มหมายเลขของเอลิเมนต์ จุดต่อปลายทั้งสองของขอบที่มีการพาความร้อน ค่าส่วนเพิ่มหมายเลขของจุดต่อทั้งสองของขอบที่มีการพาความร้อน เวลาที่เริ่มมีการพาความร้อนโดยลมนับจากเวลาเริ่มต้น สัมประสิทธิ์การพาความร้อน

บรรทัดต่อ ๆ ไป โหมดการเพิ่มเอลิเมนต์

ตัวอย่าง : \$ WIND CONVECTION

GEN	NROW							
.TRUE.	1							
EST	EEN	EINC	N1	N2	DN1	DN2	NTST	HC
1	463	42	1	23	22	22	24	0.7
\$ ADD ELEMENT								
ADD	NADD							
.TRUE.	1							
ELE	N1	N2	NTST	HC				
464	265	266	24	0.7				

ส่วนที่ 9 การพาความร้อนที่ขอบของเอลิเมนต์โดยการระเหย

บรรทัดแรก หัวข้อ

บรรทัดที่ 2 คำย่อกำหนดความหมายตัวแปรต่าง ๆ

บรรทัดที่ 3 ข้อมูลตรรกกำหนดรหัสสร้างข้อมูล จำนวนแถวของรหัส ความดันบรรยากาศ ความชื้นสัมพัทธ์

บรรทัดที่ 4 คำย่อกำหนดความหมายตัวแปรต่าง ๆ

บรรทัดที่ 5 หมายเลขเอลิเมนต์เริ่มต้น หมายเลขเอลิเมนต์สุดท้าย ค่าเพิ่มหมายเลขของเอลิเมนต์ จุดต่อปลายทั้งสองของขอบที่มีการพาความร้อน ค่าส่วนเพิ่มหมายเลขของจุดต่อทั้งสองของขอบที่มีการพาความร้อน เวลาที่เริ่มมีการพาความร้อนโดยการระเหยนับจากเวลาเริ่มต้น สัมประสิทธิ์การพาความร้อน

บรรทัดต่อ ๆ ไป โหมดการเพิ่มเอลิเมนต์

ตัวอย่าง : \$ EVAPORATION

GEN	NROW				PRESS	HUMID			
.TRUE.	1				1	0.85			
EST	EEN	EINC	N1	N2	DN1	DN2	NTST	HC	
1	463	42	1	23	22	22	24	1	
\$ ADD ELEMENT									
ADD	NADD								
.TRUE.	1								
ELE	N1	N2	NTST	HC					
464	265	266	24	0.7					

ส่วนที่ 10 การดูดกลืนรังสีความร้อนแบบคลื่นสั้น

บรรทัดแรก หัวข้อ

บรรทัดที่ 2 คำย่อกำหนดความหมายตัวแปรต่าง ๆ

บรรทัดที่ 3 ข้อมูลตรรกกำหนดรหัสสร้างข้อมูล จำนวนแถวของรหัส ค่าสัมประสิทธิ์การดูดกลืนความร้อน ปริมาณแสงแดดใน 1 วัน เวลาที่ดวงอาทิตย์ขึ้น เวลาที่ดวงอาทิตย์ตก

- บรรทัดที่ 4 คำย่อกำหนดความหมายตัวแปรต่าง ๆ
- บรรทัดที่ 5 หมายเลขเอลิเมนต์เริ่มต้น หมายเลขเอลิเมนต์สุดท้าย ค่าเพิ่มหมายเลขของเอลิเมนต์ จุดต่อปลายทั้งสองของขอบที่มีการพาความร้อน ค่าส่วนเพิ่มหมายเลขของจุดต่อทั้งสองของขอบที่มีการพาความร้อน เวลาที่เริ่มมีการดูดกลืนรังสีความร้อนนับจากเวลาเริ่มต้น
- บรรทัดต่อ ๆ ไป โหมดการเพิ่มเอลิเมนต์

ตัวอย่าง : \$ ABSORPTION OF SHORT WAVE DUE TO RADIATION

GEN	NROW	ABS	QR	TAM	TPM		
.TRUE.	1	0.5	2000	7	17		
EST	EEN	EINC	N1	N2	DN1	DN2	NTST
465	503	2	265	266	1	1	0

\$ ADD ELEMENT

ADD	NADD		
.TRUE.	1		
ELE	N1	N2	NTST
464	265	266	0

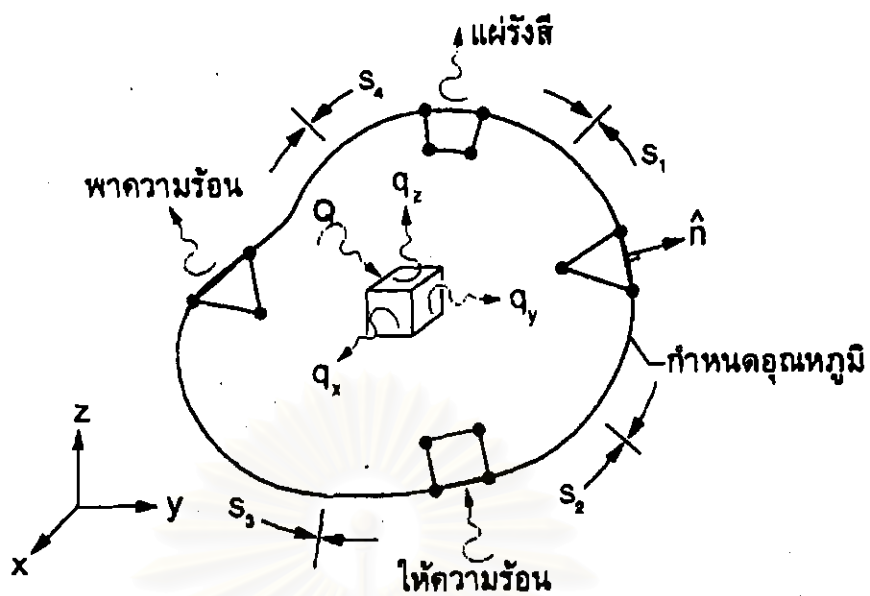
ส่วนที่ 11 ระบุจุดต่อที่ต้องการพิมพ์ผลลัพธ์

- บรรทัดแรก คำระบุจุดต่อที่ต้องการแสดงผลลัพธ์
- บรรทัดที่ 2 จำนวนจุดต่อที่ต้องการแสดงผลลัพธ์
- บรรทัดที่ 3 หมายเลขจุดต่อที่ต้องการแสดงผลลัพธ์เรียงตามลำดับจากน้อยไปมาก
- ตัวอย่าง :

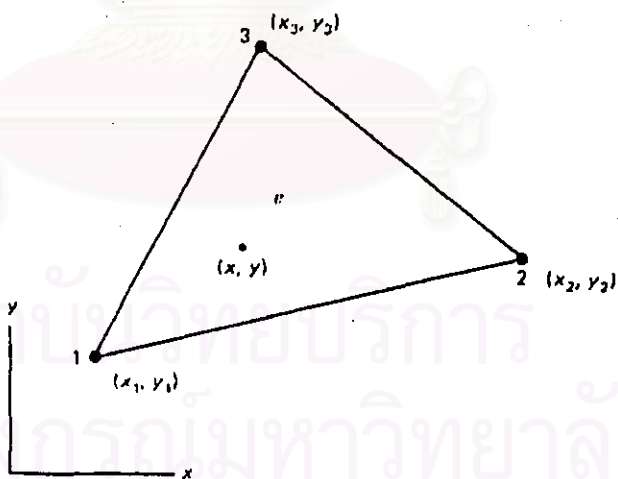
LIST NODE

3

1 41 209 253



รูปที่ ๘.1 ปัญหาการถ่ายเทความร้อนในสามมิติ



รูปที่ ๘.2 เอลิเมนต์สามเหลี่ยมแบบเชิงเส้นที่ใช้ในการวิเคราะห์

ภาคผนวก ข

การคำนวณอุณหภูมิเพิ่มสูงสุดเพื่อควบคุมการแตกร้าวของโครงสร้างคอนกรีตหนา

สมมติฐานของการวิเคราะห์

1. โครงสร้างมีการหดตัวเนื่องจากการเปลี่ยนแปลงอุณหภูมิตามความลึกเท่านั้น
2. หน้าตัดมีความสมมาตรและอุณหภูมิกระจายสม่ำเสมอ การหดตัวเกิดขึ้นในแนวแกนเท่านั้น
3. การกระจายอุณหภูมิบนหน้าตัดของโครงสร้างหาได้จากทฤษฎีการวิเคราะห์ด้วยวิธีไฟไนต์เอลิเมนต์
4. คอนกรีตยังไม่เกิดการแตกร้าว

การวิเคราะห์

พิจารณาชั้นส่วนคอนกรีตเสริมเหล็ก ที่มีการเสริมเหล็กในแนวแกนสมมาตรทั้งหน้าตัด ดังรูปที่ ผ.3 เมื่อคอนกรีตส่วนเกิดการหดตัวด้วยความเครียดเท่ากับ ϵ_{sh} เหล็กเสริมจะหดตัว เท่ากับ x ในขณะที่คอนกรีตจะถูกดึงรั้งไว้ด้วยความเครียดเท่ากับ ϵ_c เมื่อพิจารณาความสอดคล้องทางความเครียด (Strain compatibility) ของหน้าตัด จะได้

$$\epsilon_c = \epsilon_{sh} - x \quad (\text{ผ-58})$$

จากกฎความสัมพันธ์ระหว่างหน่วยแรง และความเครียดของวัสดุในช่วงอีลาสติก (Constitutive law) จะได้

$$f_{c,t} \frac{(1 + C_t)}{E_c} = \epsilon_{sh} - \frac{f_s}{E_s} \quad (\text{ผ-59})$$

พิจารณาลมดุลย์ของแรงในแนวแกนบนหน้าตัด จะได้

$$f_s A_s = f_{c,t} A_c \quad (\text{ผ-60})$$

จากสมการที่ (ผ-59) และ (ผ-60) จะเขียนหน่วยแรงดึงที่เกิดขึ้นในคอนกรีตได้ดังสมการ

$$f_{c,t} = \frac{\epsilon_{sh}}{\frac{A_c/A_s}{E_s} + \frac{(1 + C_t)}{E_c}} \quad (\text{ผ-61})$$

โดยที่

A_c, A_s คือ พื้นที่หน้าตัดของคอนกรีต และเหล็กเสริม ตามลำดับ

E_c, E_s คือ ค่าโมดูลัสยืดหยุ่นของคอนกรีต และ เหล็กเสริม ตามลำดับ

C_r คือ สัมประสิทธิ์การคืบตัวของคอนกรีต

การหดตัวของคอนกรีตล้วน (ϵ_{sh}) ที่เกิดขึ้นจากการเปลี่ยนแปลงอุณหภูมิตลอดความลึกของโครงสร้าง คำนวณได้จาก

$$\epsilon_{sh} = \int_h \alpha dT \quad (M-62)$$

หรือ

$$\epsilon_{sh} = \int_h \alpha \frac{dT}{dy} dy \quad (M-63)$$

α คือ สัมประสิทธิ์การยืดหดตัวเนื่องจากผลของอุณหภูมิของคอนกรีต กำหนดให้มีค่าเท่ากับ 1×10^{-5} ถึง 1.3×10^{-5} ต่อ องศาเซลเซียส.

$\frac{dT}{dy}$ คือ เกรเดียนท์ของอุณหภูมิ ณ เวลาที่พิจารณา (องศาเซลเซียส ต่อเมตร)

h คือ ระยะเวลาครึ่งหนึ่งของความลึกของโครงสร้าง (เมตร)

จากผลการวิเคราะห์ด้วยวิธีไฟไนต์เอลิเมนต์ สามารถแสดงการกระจายอุณหภูมิตามความลึกจากผิวได้ดังรูปที่ ๘.4 และจากการวิเคราะห์ความตดถอย สามารถเขียนความสัมพันธ์ระหว่างอุณหภูมิ และความลึกได้ในรูปเอกซโปเนนเชียล ดังสมการ

$$T = a (b - e^{-cy}) \quad (M-64)$$

เมื่อ a, b, c คือ ค่าคงที่ เท่ากับ 38.36 (องศาเซลเซียส) 1.86 และ 3.47 (ต่อ เมตร) ตามลำดับ มีความสัมพันธ์

กับอุณหภูมิสูงสุด อุณหภูมิของสภาวะแวดล้อม และคุณสมบัติการนำความร้อนของคอนกรีต

y คือ ความลึกจากผิวถึงจุดที่พิจารณา (เมตร)

T คือ อุณหภูมิ ณ จุดที่พิจารณา (องศาเซลเซียส)

พิจารณาสมการที่ (M-64) จะพบว่า

$$T_{max} = ab \quad (M-65)$$

และ

$$T_{surface} = a(b-1) \quad (M-66)$$

เมื่อ T_{max} คือ อุณหภูมิสูงสุดที่กึ่งกลางความลึกของโครงสร้าง (องศาเซลเซียส)

$T_{surface}$ คือ อุณหภูมิผิวของโครงสร้าง (องศาเซลเซียส)

จากสมการที่ (ม-65) และ (ม-66) จะได้

$$a = T_{max} - T_{surface} \quad (ม-67)$$

และ

$$b = \frac{T_{max}}{T_{max} - T_{surface}} \quad (ม-68)$$

เมื่อคุณสมบัติทางความร้อนของคอนกรีตไม่เปลี่ยนแปลง จะได้ c มีค่าคงที่ ดังนั้นสามารถเขียนสมการที่ (ม-64) ใหม่ได้เป็น

$$T = T_{max} \left(1 - \frac{e^{-cy}}{T_{max}} (T_{max} - T_{surface}) \right) \quad (ม-69)$$

แทนสมการที่ (ม-69) ในสมการที่ (ม-63) จะได้

$$\epsilon_{sh} = \alpha (T_{max} - T_{surface}) (1 - e^{-ch}) \quad (ม-70)$$

ดังนั้นหากทราบอุณหภูมิของสภาวะแวดล้อม ความลึกของโครงสร้าง ปริมาณเหล็กเสริมต่อพื้นที่หน้าตัดคอนกรีต และหน่วยแรงดึงของคอนกรีตที่ยอมให้สามารถคำนวณอุณหภูมิเพิ่มสูงสุดที่ยอมให้ได้ดังสมการ

$$\Delta T = T_{max} - T_{surface} = \frac{f_{c,t}}{\alpha(1 - e^{-ch})} \left[\frac{A_c/A_s}{E_s} + \frac{(1 + C_t)}{E_c} \right] \quad (ม-71)$$

เมื่อ $f_{c,t}$ มีค่าไม่เกิน หน่วยแรงดึงที่ยอมให้ของคอนกรีต ซึ่งได้มาจากการทดสอบแบบผ่าซีก ตามมาตรฐาน โดยกำหนดให้มีค่าเท่ากับ $0.5\sqrt{f_c}$ สำหรับคอนกรีตหน่วยน้ำหนักปกติ และใช้ตัวประกอบความปลอดภัยเท่ากับ 1.7 สำหรับคอนกรีตหน่วยน้ำหนักปกติ

จากสมมูลย์ของแรงบนหน้าตัด จะได้ว่าหน่วยแรงดึงบนหน้าตัดคอนกรีตสัมพันธ์กับพื้นที่หน้าตัดของเหล็กเสริมต่อคอนกรีต และหน่วยแรงของเหล็กเสริม เพื่อที่จะควบคุมการแตกร้าวของโครงสร้าง ต้องจำกัดหน่วยแรงในเหล็กเสริมมิให้เกินพิกัดที่ยอมให้ ซึ่งสำหรับโครงสร้างคอนกรีตเสริมเหล็กที่รับแรงดึงในแนวแกน สามารถคำนวณได้จากสมการที่เสนอโดย Hognestad⁽⁵⁰⁾ ดังนี้

$$w_{max} = \frac{d_b f_s f_{c,t}}{\rho_e 2uE_s} \quad (ม-73)$$

เมื่อ w_{max} คือ ความกว้างของรอยแตกสูงสุดที่ยอมให้เกิดขึ้น (มิลลิเมตร)

ρ_e คือ อัตราส่วนพื้นที่หน้าตัดเหล็กเสริมต่อพื้นที่หน้าตัดคอนกรีตประสิทธิผล มีค่าเท่ากับ A_s/A_c สำหรับ
ชั้นส่วนรับแรงดึงตามแนวแกน $A_c = A_g$

d_b คือ ขนาดเส้นผ่านศูนย์กลางของเหล็กเสริม (มิลลิเมตร)

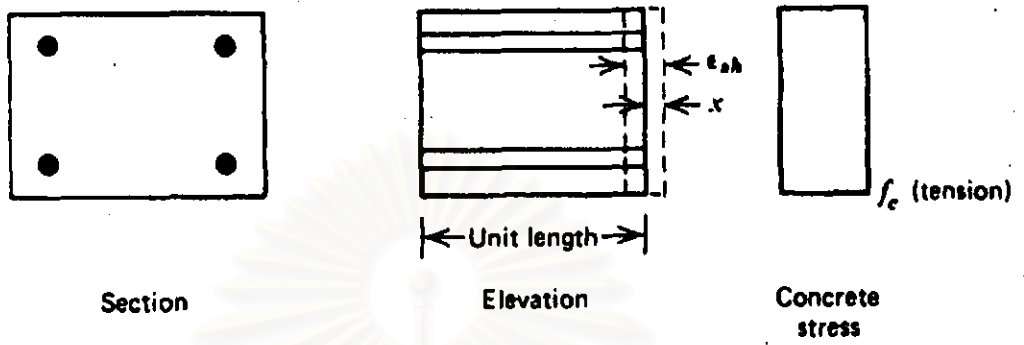
u คือ หน่วยแรงยึดหน่วงของคอนกรีตที่ยอมให้โดยเฉลี่ย (กก./ตร.ซม.) พิจารณาได้จากมาตรฐานของ
วสท.1007-34 สำหรับเหล็กเสริมข้อ้อยย ตามมาตรฐาน ASTM A305 รับแรงดึง มีค่าเท่ากับ $3.23\sqrt{f_c'}/d_b$ กก./ตร.
ซม. และไม่เกิน 35 กก./ตร.ซม.

แทนสมการที่ (ผ-60) ในสมการที่ (ผ-73) จะได้

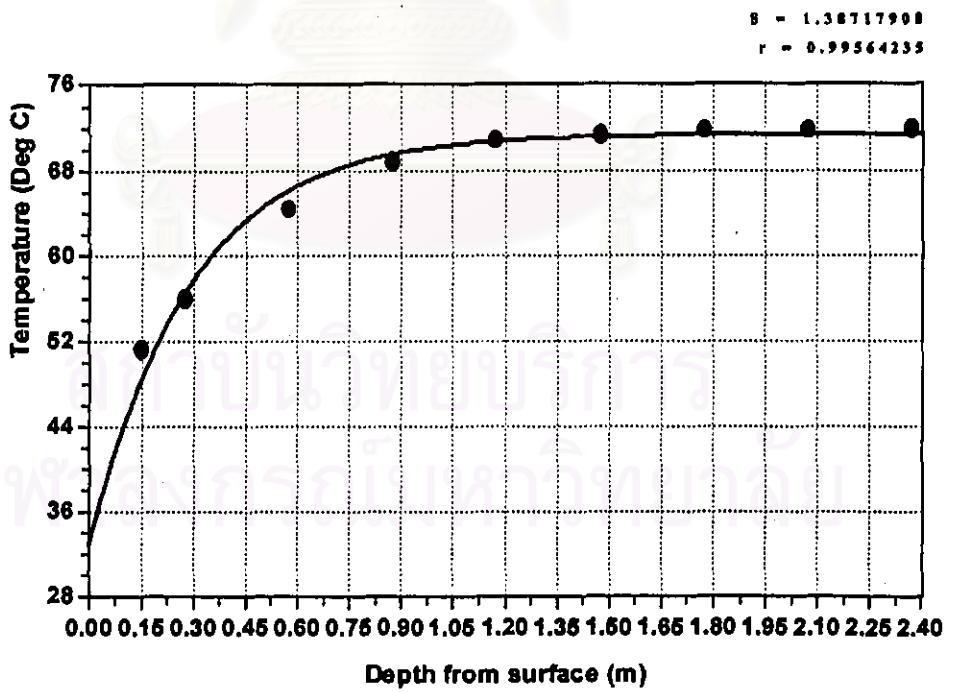
$$f_s = \sqrt{\frac{2w_{max}uE_s}{d_b}} \quad (\text{ผ-74})$$

จากข้อกำหนดของ ACI Committee 224^[23] กำหนดให้ความกว้างรอยแตกมีค่าไม่เกิน 0.30 มม. สำหรับโครงสร้างที่
ต้องสัมผัสกับความชื้น หรืออยู่ใต้ดิน เมื่อกำหนดให้โครงสร้างมีการเสริมเหล็กเพื่อควบคุมการแตกร้าวเนื่องจากผล
ของอุณหภูมิตามข้อกำหนดของ ACI 318-95^[58] ด้วยอัตราส่วนพื้นที่หน้าตัดเหล็กเสริมต่อหน้าตัดของคอนกรีต
เท่ากับ 0.0018 และเพื่อให้เกิดผลในทางปลอดภัย สมควรกำหนดให้อุณหภูมิเพิ่มในโครงสร้างคอนกรีตหามีค่าไม่
เกิน 45 องศาเซลเซียส สำหรับคอนกรีตที่มีกำลังอัดไม่น้อยกว่า 175 กก./ตร.ซม. และสำหรับโครงสร้างที่มีความลึก
น้อยกว่า 3.00 เมตร จะเพิ่มค่าอุณหภูมิเพิ่มได้ดังสมการที่ (ผ-71) โดยหน่วยแรงดึงในคอนกรีต จะถูกควบคุมโดย
ความกว้างของรอยแตกที่ยอมให้ ดังสมการที่ (ผ-74)

สถาบันวิทยบริการ
จุฬาลงกรณ์มหาวิทยาลัย



รูปที่ ผ.3 การหัดตัวของชิ้นส่วนคอนกรีตเสริมเหล็กที่มีหน้าตัดสมมาตร



รูปที่ ผ.4 การกระจายอุณหภูมิของหน้าตัดที่ได้จากการวิเคราะห์

ภาคผนวก ค

มาตรฐานที่เกี่ยวข้อง

มาตรฐานผลิตภัณฑ์อุตสาหกรรมที่เกี่ยวข้อง

มอก. 15-2523	มาตรฐานผลิตภัณฑ์อุตสาหกรรมว่าด้วย ปูนซีเมนต์ปอร์ตแลนด์
มอก. 213-2520	มาตรฐานผลิตภัณฑ์อุตสาหกรรมว่าด้วย คอนกรีตผสมเสร็จ
มอก. 566-2528	มาตรฐานผลิตภัณฑ์อุตสาหกรรมว่าด้วย มวลผสมคอนกรีต
มอก. 733-2530	มาตรฐานผลิตภัณฑ์อุตสาหกรรมว่าด้วย สารเคมีผสมเพิ่มสำหรับคอนกรีต
มอก. 985-2533	มาตรฐานผลิตภัณฑ์อุตสาหกรรมว่าด้วย สารเคมีผสมเพิ่มสำหรับทำคอนกรีตไหล

มาตรฐาน ASTM ที่เกี่ยวข้อง

AGGREGATES

ASTM C33-93	Specifications for Concrete Aggregates
ASTM C29/C 29M-91a	Standard Test Method for Unit Weight and Void in Aggregate
ASTM C70-94	Standard Test Method for Surface Moisture in Fine Aggregate
ASTM C127-93	Standard Test Method for Specific Gravity and Absorption of Coarse Aggregate
ASTM C128-93	Standard Test Method for Specific Gravity and Absorption of Fine Aggregate
ASTM C136-95a	Standard Test Method for Sieve Analysis of Fine and Coarse Aggregates
ASTM C1252-93	Standard Test Method for Void Content, Uncompacted, of Fine Aggregates (as Influenced by Particle shape, Surface Texture, and Grading)

CONCRETE

ASTM C94-96	Specifications for Ready-Mixed Concrete
ASTM C494-92	Specifications for Chemical Admixtures for Concrete
ASTM C1017-92	Specifications for Chemical Admixtures for Use in Producing Flowing Concrete
ASTM C39-94	Standard Test Method for Compressive Strength of Cylindrical Concrete Specimens
ASTM C143-90a	Standard Test Method for Slump of Hydraulic Cement Concrete
ASTM C617-94	Standard Practice for Capping Cylindrical Concrete Specimens
ASTM C192/C 192M-95	Standard Practice for Concrete Test Specimens, Making and Curing in the Laboratory
ASTM C1074-93	Standard Practice for Estimating Concrete Strength by the Maturity Concept

ภาคผนวก ค (ต่อ)

CEMENTITIOUS MATERIAL

ASTM C150-95a	Specifications for Portland Cement
ASTM C188-95	Standard Test Method for Density of Hydraulic Cement
ASTM C204-96	Standard Test Method for Fineness of Hydraulic Cement by Air Permeability Apparatus
ASTM C1240-95a	Specifications for Silica Fume for Use in Hydraulic-Cement Concrete and Mortar
ASTM C618-96	Specifications for Coal Fly Ash and Raw or Calcined Natural Pozzolan for Use as a Mineral Admixture in Concrete

GENERAL METHODS OF TESTING

ASTM E74-91	Standard Practice for Calibration of Force-Measuring Instruments for Verifying the Load Indication of Testing Machines
-------------	--

มาตรฐาน BSI และ DIN ที่เกี่ยวข้อง

BS 812: Part 105.1:1985	Method for Determination of Flakiness Index
DIN 1048:Part 1	Method for Determination of Flow of Fresh Concrete

สถาบันวิทยบริการ
จุฬาลงกรณ์มหาวิทยาลัย

ภาคผนวก ง

การใช้งานโปรแกรม

ส่วนประกอบของโปรแกรม

โปรแกรม HPCX ประกอบไปด้วยส่วนทำงานหลักสำคัญ 2 ส่วน ได้แก่ ส่วนควบคุมโปรแกรม (Program Controller) ซึ่งทำหน้าที่ เปิด ปิด ฟอรัมสำหรับออกแบบ บันทึกลง หรือเรียกเพิ่มข้อมูล พิมพ์รายงานผลลัพธ์ ตั้งค่าตัวเลือกต่าง ๆ ออกจากโปรแกรม และส่วนฟอรัมการออกแบบ ซึ่งประกอบไปด้วยหน้าต่างย่อย เรียกว่า แท็บ (Tab) ซึ่งผู้ออกแบบสามารถสลับเปลี่ยนไปมาได้ขณะทำการออกแบบ ฟอรัมการออกแบบจะประกอบด้วยหน้าต่างย่อยหรือแท็บ จำนวน 4 หน้า ซึ่งมีหน้าที่ติดต่อกับผู้ออกแบบในด้านต่าง ๆ ไม่ว่าจะเป็น การรับข้อมูล หรือ แสดงผลของการคำนวณ ซึ่งมีรายละเอียดดังนี้

หน้าต่างรับข้อมูลวัสดุผสม

ภายในประกอบไปด้วยส่วนรับข้อมูลของวัสดุผสมที่แบ่งด้วยเส้นกรอบและเส้นกรอบย่อยต่าง ๆ ได้แก่ กรอบรับข้อมูลคุณสมบัติของมวลรวม ตารางกริดรับข้อมูลขนาดคละของมวลรวม กรอบรับข้อมูลชนิดและค่าปริมาณซีเมนต์สูงสุดในส่วนผสม กรอบรับข้อมูลอัตราการใช้สารลดน้ำพิเศษสูงสุด และต่ำสุด และกรอบรับข้อมูลพารามิเตอร์สำหรับการออกแบบ ได้แก่ ปริมาณช่องว่างของมวลรวม และปริมาณฟองอากาศในส่วนผสม นอกจากนี้ ในกรณีที่ผู้ใช้ขาดข้อมูลที่แน่ชัดของมวลรวมและวัสดุผสมที่ใช้โปรแกรมยังได้เตรียมกรอบสำหรับใช้ค่าที่ตั้งไว้ เพื่ออำนวยความสะดวกในการออกแบบ แสดงได้ดังรูปที่ ผ.5

หน้าต่างรับข้อมูลเพื่อกำหนดคุณสมบัติของคอนกรีตในการออกแบบ

ใช้ในขั้นตอนการคำนวณออกแบบส่วนผสมของคอนกรีตสมรรถนะสูงภายหลังจากที่โปรแกรมได้รับข้อมูลเกี่ยวกับคุณสมบัติวัสดุผสมเรียบร้อยแล้ว ภายในประกอบไปด้วย กรอบรับข้อมูลต่าง ๆ เรียงตามลำดับขั้นของการออกแบบ ได้แก่ กรอบสำหรับเลือกชนิดของคอนกรีตสมรรถนะสูงในการออกแบบ กรอบสำหรับเลือกวิธีการผสมมวลรวม กรอบสำหรับกำหนดค่ากำลังอัดของคอนกรีต กรอบสำหรับกำหนดพารามิเตอร์สำหรับใช้พิจารณาข้อกำหนดด้านความทนทานในการออกแบบส่วนผสม กรอบสำหรับเลือกระดับความสามารถทำงานได้ของคอนกรีต กรอบสำหรับกำหนดพารามิเตอร์ที่ใช้ควบคุมอุณหภูมิเพิ่มแบบกักกันความร้อนที่เกิดขึ้น และกรอบสำหรับกำหนดสัดส่วนการแทนที่ซีเมนต์ด้วยแร่ธาตุผสมเพิ่ม แสดงได้ดังรูปที่ ผ.6

หน้าต่างแสดงขนาดคละของมวลรวม

ประกอบไปด้วย กราฟแสดงการกระจายขนาดคละของมวลรวมที่ใช้ในส่วนผสม รวมทั้งขนาดคละร่วมจากการคำนวณ และขอบเขตขนาดคละที่เหมาะสมสำหรับการผลิตคอนกรีตสมรรถนะสูง กรอบสำหรับแสดงสัดส่วนของ

มวลรวมต่าง ๆ ที่ได้จากการคำนวณทั้งโดยปริมาตร และโดยน้ำหนัก ตารางกริดแสดงขนาดคละรวมของมวลรวมที่ได้จากการคำนวณเปรียบเทียบกับค่าขีดจำกัดของขนาดคละที่เหมาะสม ดังแสดงได้ดังรูปที่ ผ.7

หน้าต่างแสดงผลลัพธ์ของการคำนวณออกแบบ

ประกอบไปด้วย ตารางกริดแสดงส่วนผสมที่ได้จากการคำนวณออกแบบ กราฟแสดงปริมาณของวัสดุผสมต่าง ๆ กราฟแสดงการพัฒนากำลังอัดของคอนกรีตตามอายุ และกราฟแสดงการเพิ่มขึ้นของอุณหภูมิแบบกักกันความร้อน ดังแสดงได้ดังรูปที่ ผ.8

การใช้งาน

ขั้นตอนของการออกแบบส่วนผสมคอนกรีตสมรรถนะสูงด้วยโปรแกรมคอมพิวเตอร์จะถูกดำเนินไปตามตามลำดับขั้นตอนที่เสนอแนะในงานวิจัย โดยมีรายละเอียด ดังนี้

ขั้นตอนที่ 1 ป้อนคุณสมบัติของวัสดุผสม ในส่วนต่าง ๆ ของหน้าต่างคุณสมบัติของวัสดุ โดยข้อมูลที่ผู้ใช้ต้องกำหนดในส่วนต่าง ๆ ได้แก่

(ส่วนที่ 1 และ ส่วนที่ 2)

มวลรวม - ชนิดของมวลรวมที่ใช้ (Type of Aggregate used) ได้แก่ หินขนาดโตสุด 20 มม. และ 10 มม. และ ทราบที่มีขนาดคละแตกต่างกันได้ 2 ชนิด

- ความถ่วงจำเพาะ (Specific Gravity)
- ค่าการดูดซึม (Absorption)
- ความชื้น (Moisture Content)
- ร้อยละที่ผ่านตะแกรงมาตรฐานโดยน้ำหนักของมวลรวม (Percent Passing by Weight)

ในกรณีที่มีการใช้มวลรวมครบทั้ง 4 ชนิดผู้ออกแบบสามารถกำหนดให้ใช้วิธีการผสมมวลรวมแบบซิมเพล็กซ์ ได้โดยกำหนดให้มีการใช้มวลรวมอย่างน้อย 1 ชนิดในปริมาณที่ต่ำที่สุด หากผู้ออกแบบต้องการบันทึกข้อมูลของมวลรวมที่ใช้ สามารถทำได้ด้วยการเลือกที่เมนู ไฟล์ /บันทึกข้อมูลมวลรวม (File/ Save Aggregate Data) จะปรากฏเมนูย่อยขึ้นบนหน้าจอ และให้ผู้ออกแบบทำการกำหนดชื่อของไฟล์ข้อมูลมวลรวมซึ่งโปรแกรมจะตั้งประเภทของไฟล์ให้มีคำต่อท้ายเป็น .agg เพื่อแยกออกจากไฟล์ข้อมูลส่วนผสมทั้งหมด ซึ่งจะได้กล่าวถึงต่อไป

เมื่อต้องการเรียกใช้ข้อมูลของมวลรวมที่เคยทำการบันทึกไว้แล้ว สามารถทำได้โดยเลือกที่เมนู ไฟล์/ เรียกข้อมูลมวลรวม (File/ Load Aggregate Data) จะปรากฏเมนูย่อยขึ้นบนหน้าจอ และให้ผู้ออกแบบทำการเลือกชื่อของไฟล์ข้อมูลมวลรวมที่มี โดยเมนูย่อยนี้จะแสดงให้เห็นเฉพาะไฟล์ข้อมูลของมวลรวมซึ่งจะมีคำต่อท้ายเป็น .agg เท่านั้น เพื่อป้องกันความผิดพลาดของข้อมูล

(ส่วนที่ 3)

ซีเมนต์ - ประเภทของซีเมนต์ที่ใช้ โดยโปรแกรมจะกำหนดให้เป็นตัวเลือก ได้แก่ ปอร์ตแลนด์ซีเมนต์ธรรมดา (Ordinary Portland Cement, OPC) ปอร์ตแลนด์ซีเมนต์ชนิดแข็งตัวเร็ว (Rapid Hardening Portland Cement, RHPC) และ ปอร์ตแลนด์ซีเมนต์ชนิดต้านทานซัลเฟต (Sulphate Resistant Portland Cement, SRPC)

- ปริมาณซีเมนต์สูงสุดในส่วนผสม เป็นค่าที่กำหนดสำหรับการออกแบบส่วนผสมของคอนกรีตไหลและคอนกรีตกำลังสูง ในกรณีของการออกแบบคอนกรีตเหล่านั้นโปรแกรมจะทำการคำนวณปริมาณซีเมนต์สูงสุดจากข้อกำหนดคุณสมบัติเพิ่มเติมแบบกักกันความร้อนสูงสุด

(ส่วนที่ 4)

สารลดน้ำพิเศษ - กำหนดขีดจำกัดการใช้งานต่ำสุด และสูงสุด (Minimum and Maximum Dosage)

(ส่วนที่ 5)

ป้อนข้อมูลของช่องว่างของมวลรวม และปริมาณอากาศในส่วนผสม

ขั้นตอนที่ 2 กำหนดข้อมูลคุณสมบัติของคอนกรีตสมรรถนะสูง ในหน้าต่างแสดงรายการการออกแบบ โดยมีขั้นตอนย่อยดังนี้

2.1 เลือกประเภทของคอนกรีตสมรรถนะสูงที่ต้องการออกแบบ ในส่วนที่ 1 ได้แก่ คอนกรีตไหล (Flowable Concrete) คอนกรีตหยาบ (Mass Concrete) และคอนกรีตกำลังสูง (High Strength Concrete)

2.2 กำหนดวิธีการผสมมวลรวม ในส่วนที่ 2 ได้แก่ วิธีการกำลังลงน้อยที่สุด (ค่าที่ตั้งไว้) หรือวิธีซิมเพล็กซ์ ซึ่งโปรแกรมจะสามารถทำการคำนวณโดยวิธีการซิมเพล็กซ์ได้ต่อเมื่อมีการใช้มวลรวมครบทั้ง 4 ชนิด และมีชนิดใดชนิดหนึ่งถูกกำหนดให้ใช้ในปริมาณที่ต่ำที่สุดเท่าที่เป็นไปได้ และตรวจสอบคุณสมบัติของมวลรวมที่ใช้ได้จากการแสดงผลของหน้าต่างแสดงผลการผสมมวลรวม และทำการปรับแก้คุณสมบัติของมวลรวมที่ใช้ตามความเหมาะสม

2.3 กำหนดค่ากำลังอัดระบุ (Characteristic Strength) ของคอนกรีต และอายุอ้างอิงของคอนกรีตที่ทำการทดสอบ ในส่วนที่ 3 ของหน้าต่างแสดงรายการการออกแบบโดยโปรแกรมจะสามารถคำนวณค่ากำลังอัดเป้าหมาย (Target Mean Strength) ของคอนกรีตได้ 2 วิธี คือ

2.3.1 วิธีการปฏิบัติมาตรฐานของ ACI 214 (ACI 214 Standard Practice)

ด้วยวิธีการของ ACI 214 Committee^[65] ผู้ออกแบบต้องป้อนข้อมูลที่จำเป็นสำหรับการคำนวณดังนี้

- สัดส่วนเสียหาย (Proportion Defective) มีค่าตั้งแต่ 1% 2.275% 2.5% 5% 10% และ 20% ซึ่งจะมีผลต่อค่าคงที่ทางสถิติ ในการคำนวณค่ากำลังอัดส่วนเผื่อ (Strength Margin)

- ชั้นการทำงาน (Class of Operation) ได้แก่ ข้อมูลจากในสนาม (General Construction Testing) หรือ ข้อมูลที่ได้จากส่วนผสมทดลองในห้องปฏิบัติการ (Laboratory Trial Batches) ซึ่งจะมีผลต่อค่าส่วนเบี่ยงเบนมาตรฐาน (Standard Deviation) ของตัวอย่าง
- ระดับมาตรฐานการควบคุม ได้แก่ ระดับ ดีเลิศ (Excellent) ดีมาก (Very Good) ดี (Good) พอใช้ (Fair) และ แย่ (Poor) โดยจะมีผลต่อค่าส่วนเบี่ยงเบนมาตรฐานของตัวอย่าง
- จำนวนข้อมูลของตัวอย่างทดสอบ จะมีผลต่อการปรับแก้ค่าของส่วนเบี่ยงเบนมาตรฐาน และการคำนวณค่ากำลังอัดส่วนเนื้อ

2.3.2 กำหนดค่าส่วนเนื้อกำลังอัด (Strength Margin) โดยตรง

ผู้ออกแบบสามารถกำหนดค่าส่วนเนื้อกำลังอัดได้โดยตรงจากตัวเลือก "ค่าที่กำหนดโดยผู้ใช้ (User Specified Value)" และทำการกำหนดค่าส่วนเนื้อกำลังอัดมีหน่วยเป็น เมกะพาสคาล (Mpa) ในกรณีที่ผู้ออกแบบต้องการควบคุมค่าส่วนเนื้อให้มีน้อยกว่าค่าต่ำสุดที่กำหนดโดย ACI 214 Committee แล้วผู้ออกแบบต้องทำเครื่องหมายที่ กล่องเช็คข้อมูล (Checkbox) "ค่าต้องการต่ำสุดของ ACI 214 (ACI 214 Minimum Requirement)"

2.4 กำหนดพารามิเตอร์เพื่อกำหนดค่าจำกัดของการออกแบบส่วนผสมเพื่อความทนทานของคอนกรีต ในส่วนที่ 4 ได้แก่

- ระดับชั้นความเปิดเผยของโครงสร้างคอนกรีต (Classes of Exposure)
- ระยะเวลาเหล็กเสริม

2.5 กำหนดความสามารถทำงานได้ของคอนกรีต ในส่วนที่ 5 ได้แก่

- ค่ายุบตัวเริ่มต้น สำหรับคอนกรีตไหล และคอนกรีตหลา สามารถทำการกำหนดค่ายุบตัวเริ่มต้นของคอนกรีตได้ตั้งแต่ 75 มม. ถึง 150 มม. ในขณะที่คอนกรีตกำลังสูง ผู้ออกแบบจะสามารถเลือกค่ายุบตัวเริ่มต้นของส่วนผสมได้สูงไม่เกิน 50 มม.
- ระดับความสามารถการไหลตัวของคอนกรีต ซึ่งแบ่งเป็น 3 ระดับ คือ ระดับปกติ ระดับปานกลาง และ ระดับสูง

2.6 ในกรณีที่ทำการออกแบบส่วนผสมเป็นคอนกรีตหลา ผู้ออกแบบต้องกำหนดพารามิเตอร์เพื่อควบคุมอุณหภูมิเพื่อสูงสุดแบบกักกันความร้อนที่เกิดขึ้น ในส่วนที่ 6 ได้แก่

- ค่าอุณหภูมิเพิ่มแบบกักกันความร้อนสูงสุดที่ยอมให้มีหน่วยเป็นองศาเซลเซียส ซึ่งจะมีผลต่อการคำนวณปริมาณซีเมนต์สูงสุดที่ยอมให้ในส่วนผสม
- อุณหภูมิขณะทำการเทคอนกรีตมีหน่วยเป็น องศาเซลเซียส จะมีผลต่ออัตราการผลิตอุณหภูมิแบบกักกันความร้อน

2.7 กำหนดสัดส่วนการแทนที่ซีเมนต์ด้วยสารปอซโซลาน ในส่วนที่ 7

ขั้นตอนที่ 3 เมื่อป้อนข้อมูลเสร็จเรียบร้อย คลิกที่ปุ่ม "OK" เพื่อให้โปรแกรมทำการประมวลผล

ขั้นตอนที่ 4 เปลี่ยนไปที่หน้าต่างแสดงผล เพื่อดูผลลัพธ์ที่ได้จากการออกแบบจากตารางส่วนผสมผลลัพธ์ ในส่วนที่ 1 ซึ่งถูกแบ่งออกเป็น 15 แถว และ 4 หลัก เพื่อใช้แสดงผลลัพธ์ต่าง ๆ ที่ได้จากการคำนวณออกแบบ โดยในแต่ละแถว และแต่ละหลัก จะใช้แสดงผลลัพธ์ดังนี้

- | | |
|----------------|--|
| แถวที่ 1 | แสดงปริมาณซีเมนต์ที่ต้องใช้ มีหน่วยเป็น กิโลกรัม |
| แถวที่ 2 | แสดงปริมาณของแร่ธาตุผสมเพิ่มที่ต้องใช้ (ถ้ามี) หน่วยเป็น กิโลกรัม |
| แถวที่ 3 | แสดงปริมาณน้ำที่ต้องใช้ มีหน่วยเป็น กิโลกรัม |
| แถวที่ 4 ถึง 7 | แสดงปริมาณของมวลรวมที่ใช้แยกตามประเภท ได้แก่ มวลรวมหยาบขนาด 20 มม. มวลรวมหยาบขนาด 10 มม. มวลรวมละเอียดชนิด A และ มวลรวมละเอียดชนิด B ตามลำดับ มีหน่วยเป็น กิโลกรัม |
| แถวที่ 8 | แสดงปริมาณของสารลดน้ำพิเศษที่ต้องใช้ มีหน่วยเป็น ลูกบาศก์เซนติเมตร |
| แถวที่ 9 | แสดงสัดส่วนของมวลรวมละเอียดต่อมวลรวม |
| แถวที่ 10 | แสดงค่าของฟังก์ชันประสิทธิผลของวัสดุประสานในส่วนผสม |
| แถวที่ 11 | แสดงแสดงสัดส่วนน้ำต่อวัสดุประสานของส่วนผสม |
| แถวที่ 12 | แสดงค่าน้ำหนักรวมของวัสดุผสมทั้งหมด ยกเว้นสารเคมีผสมเพิ่ม |
| แถวที่ 13 | แสดงค่าคาดการณ์ของค่ายุบตัวเริ่มต้นของคอนกรีตที่คำนวณได้จากส่วนผสมผลลัพธ์ มีหน่วยเป็น เซนติเมตร |
| แถวที่ 14 | แสดงค่าคาดการณ์ของค่ายุบตัวของคอนกรีตที่คำนวณได้จากส่วนผสมผลลัพธ์ มีหน่วยเป็น เซนติเมตร |
| แถวที่ 15 | แสดงค่าคาดการณ์ของค่าเส้นผ่านศูนย์กลางการไหลตัวของคอนกรีตที่ทดสอบโดยวิธีการมาตรฐานของ DIN 1045 มีหน่วยเป็นเซนติเมตร |
| แถวที่ 16 | แสดงค่ากำลังอัดของคอนกรีตมีหน่วยเป็น เมกะพาสคาล (Mpa) |
| แถวที่ 17 | แสดงอายุของคอนกรีตที่ใช้ข้างอิงในการออกแบบ มีหน่วยเป็น วัน |
| หลักที่ 1 | แสดงส่วนผสมในขณะที่มวลรวมอยู่ในสถานะอิมตัวผิวแห้ง ต่อหน่วยลูกบาศก์เมตรของคอนกรีต |
| หลักที่ 2 | แสดงส่วนผสมในขณะที่มวลรวมอยู่ในสภาพเปียก หรือสภาพจริง ณ ที่กองเก็บ ต่อหน่วยลูกบาศก์เมตรของคอนกรีต |
| หลักที่ 3 | แสดงส่วนผสมในขณะที่มวลรวมอยู่ในสถานะอิมตัวผิวแห้ง ต่อปริมาตรที่ทำการซึ่งตวงคอนกรีต |
| หลักที่ 4 | แสดงส่วนผสมในขณะที่มวลรวมอยู่ในสภาพเปียก หรือสภาพจริง ณ ที่กองเก็บ ต่อปริมาตรที่ทำการซึ่งตวงคอนกรีต |

ในส่วนที่ 2 จะแสดงปริมาณของวัสดุผสมหลัก ได้แก่ ซีเมนต์ มวลรวม น้ำ และแร่ธาตุผสมเพิ่ม ในรูปแบบกราฟฟิก ซึ่งผู้ใช้งานสามารถเลือกได้ว่าต้องการแสดงผลเป็นกราฟแท่ง 3 มิติ (3D Bar Chart) หรือกราฟวงกลมแบบ 2 มิติ (2D Pie Chart) ได้จากส่วนที่ 3 โดยเมื่อเลือกการแสดงผลแบบ 3 มิติ ผู้ออกแบบสามารถหมุนกราฟในมุมมองต่าง ๆ ได้ โดยกดปุ่ม Ctrl และเลื่อนอุปกรณ์ชี้ไปตามมุมมองที่ต้องการ

ในส่วนที่ 4 จะเป็นกล่องเครื่องหมายเพื่อให้ผู้ออกแบบสามารถเลือกการแสดงผลแบบกราฟฟิกของกราฟการพัฒนา
กำลังอัดของคอนกรีตตามอายุ และกราฟแสดงการเพิ่มอุณหภูมิแบบกักกันความร้อนในคอนกรีตหลา

ขั้นตอนที่ 5 ผู้ออกแบบสามารถทำการคำนวณปริมาณวัสดุผสมตามปริมาตรตวงของคอนกรีตได้ โดยป้อนข้อมูล
ปริมาตรของคอนกรีตในส่วนที่ 5 โดยค่าที่ได้จะแสดงผลในตารางทั้งส่วนผสมที่มวลรวมอยู่ในสภาพอัดตัวผิวแห้ง และ
ในสภาพเปียก



สถาบันวิทยบริการ
จุฬาลงกรณ์มหาวิทยาลัย

HPCX - High Performance Concrete Mix Design Package - D:\Thesis\Confirmation\F-1.hpc

File Design Help

Open LoadAgg Save SaveAgg Print Design View Tips Help

Constituents Design Menu Gradation Results

Aggregate Properties

Gravel 20 mm

Specific Gravity (SSD) 2.69 Moisture Content % 0.00 Absorption % 0.00

Gravel 10 mm

Specific Gravity (SSD) 2.59 Moisture Content % 0.00 Absorption % 0.00

Sand A

Specific Gravity (SSD) 2.59 Moisture Content % 2.50 Absorption % 0.00

Sand B

Specific Gravity (SSD) 1.00 Moisture Content % 0.00 Absorption % 0.00

Cement

Type of Cement OPC

Maximum Cement used 550

Chemical Admixture

Minimum Dosage % 0.5

Maximum Dosage % 3.0

Design Parameters

Void of combined aggregate % 27.80

Air content % 2

Default value

Specific Gravity Moisture Content

Percent Absorption Cement Properties

Chemical Admixture Design Parameters

Unselect Select All

Clear Gnd Edit Apply

	Grav20mm	Grav10mm	Sand A
3/4 in.	97.80	100.00	100.00
3/8 in.	16.56	94.21	100.00
#4	1.03	17.49	97.42
#8	0.58	0.91	89.20
#16	0.58	0.47	65.47
#30	0.58	0.47	31.36
#50	0.58	0.47	7.53
#100	0.58	0.47	1.03

ส่วนที่ 1

ส่วนที่ 2

ส่วนที่ 3

ส่วนที่ 4

ส่วนที่ 5

ส่วนที่ 6

ส่วนที่ 7

ส่วนที่ 1 - ส่วนรับข้อมูลคุณสมบัติของมวลรวมได้แก่ ชนิดของมวลรวมที่ใช้ ความถ่วงจำเพาะ ความชื้น การดูดซึมน้ำ

ส่วนที่ 2 - ส่วนรับข้อมูลร้อยละที่ผ่านตะแกรงมาตรฐานของมวลรวมขนาดต่าง ๆ

ส่วนที่ 3 - ส่วนรับข้อมูลชนิดของซีเมนต์ที่ใช้

ส่วนที่ 4 - ส่วนกำหนดอัตราการใช้งานต่ำสุดและสูงสุดของสารลดน้ำพิเศษ

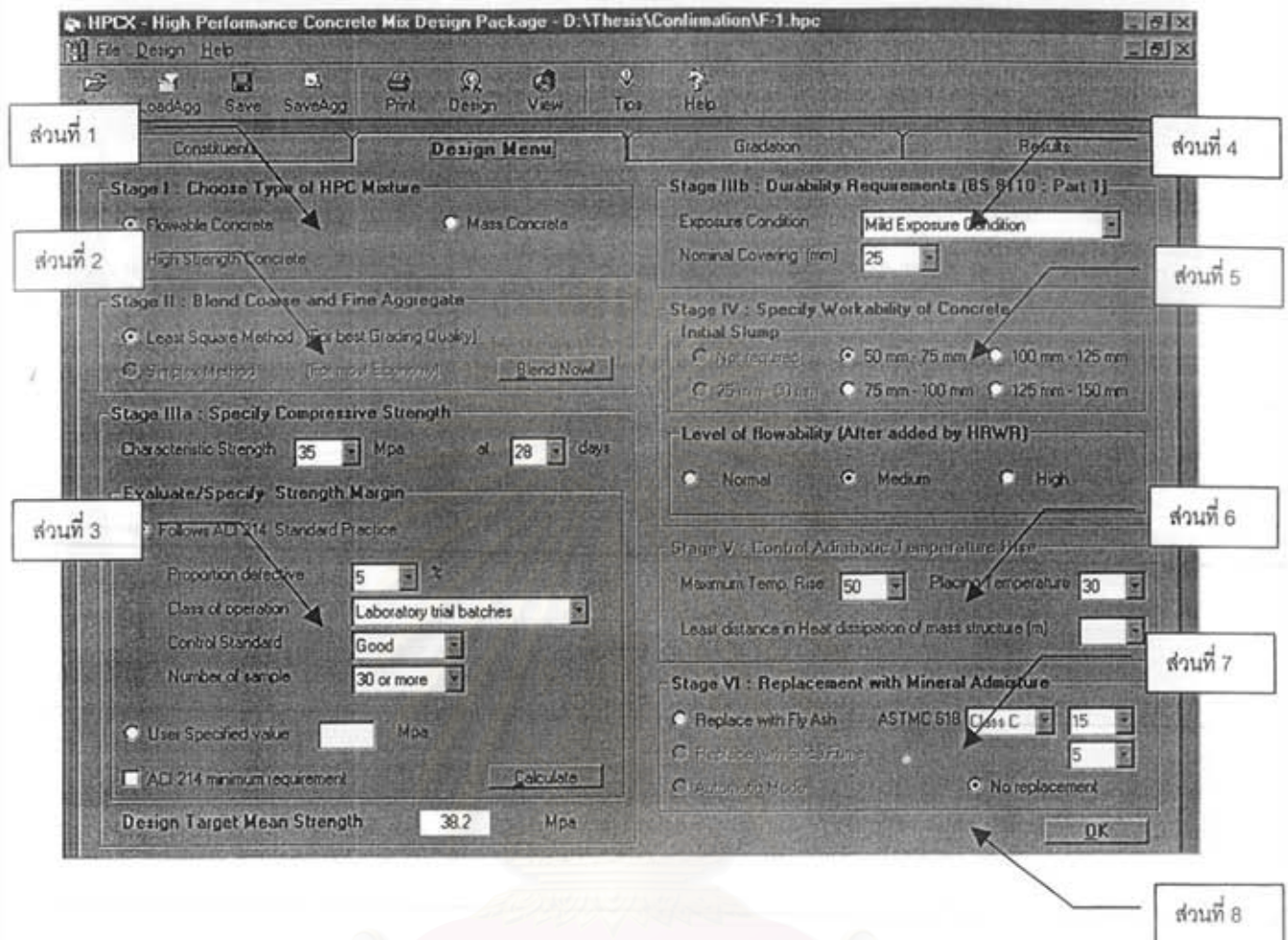
ส่วนที่ 5 - ส่วนกำหนดค่าพารามิเตอร์สำหรับการออกแบบ ได้แก่ ปริมาณช่องว่างของมวลรวม และปริมาณอากาศใน

ส่วนผสม

ส่วนที่ 6 - ส่วนสำหรับตั้งค่าที่ตั้งไว้ (Default value)

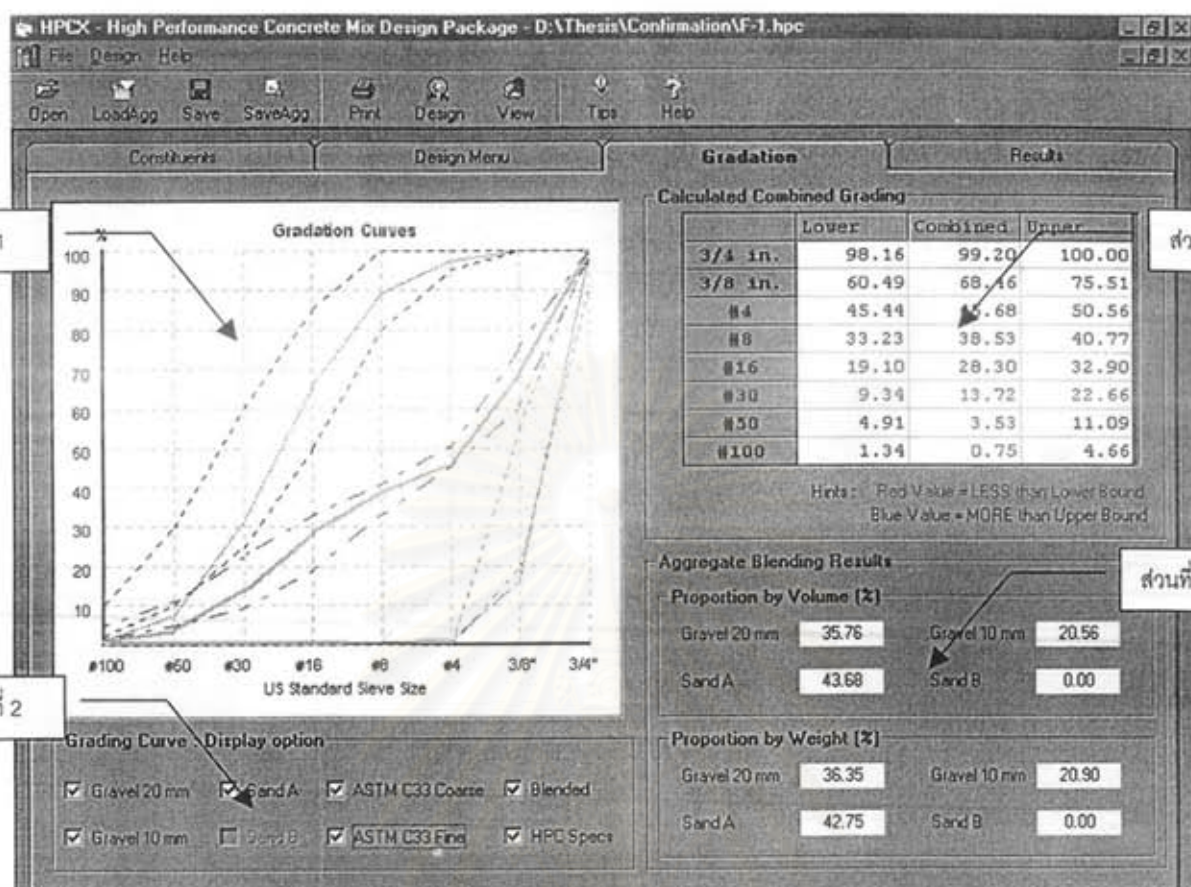
ส่วนที่ 7 - ปุ่มคำสั่งแก้ไข และ ส่งข้อมูลสู่โปรแกรม

รูปที่ ๘.5 หน้าต่างรับข้อมูลวัสดุผสมและกรอรับข้อมูลต่าง ๆ สำหรับการคำนวณ



- ส่วนที่ 1 - ส่วนรับข้อมูลชนิดของคอนกรีตสมรรถนะสูงที่จะทำการออกแบบ
- ส่วนที่ 2 - ส่วนรับข้อมูลเกี่ยวกับวิธีการผสมมวลรวม และคำสั่งทำการผสมมวลรวม
- ส่วนที่ 3 - ส่วนรับข้อมูลของค่ากำลังอัด อายุอ้างอิง และค่าส่วนเนื้อกำลังอัดของคอนกรีต
- ส่วนที่ 4 - ส่วนรับข้อมูลเกี่ยวข้องกับข้อจำกัดในการออกแบบเพื่อความทนทาน
- ส่วนที่ 5 - ส่วนรับข้อมูลความสามารถทำงานได้ของคอนกรีตสมรรถนะสูง
- ส่วนที่ 6 - ส่วนรับข้อมูลเพื่อให้ควบคุมอุณหภูมิเพิ่มแบบกักกันความร้อนในคอนกรีตหลา
- ส่วนที่ 7 - ส่วนรับข้อมูลการใช้แร่ธาตุผสมเพิ่มทดแทนซีเมนต์บางส่วน
- ส่วนที่ 8 - ปุ่มคำสั่งแก้ไข และส่งผ่านข้อมูลไปยังส่วนคำนวณหลัก

รูปที่ ๘.6 หน้าต่างรับข้อมูลเพื่อกำหนดคุณสมบัติของคอนกรีตในการออกแบบ



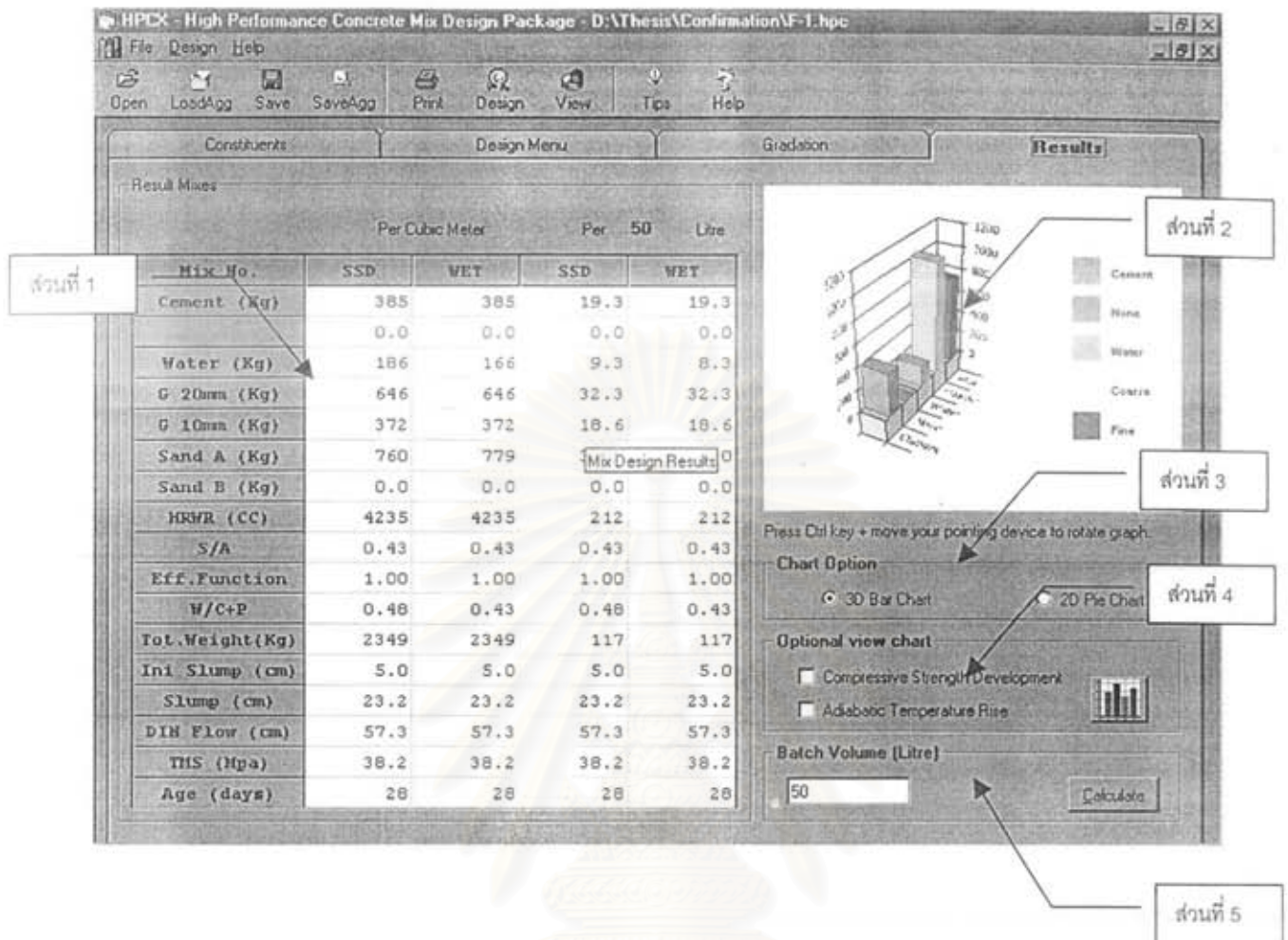
ส่วนที่ 1 - ส่วนแสดงข้อมูลเส้นโค้งขนาดคละของมวลรวมที่ใช้ ขนาดคละร่วมที่ได้จากการคำนวณ และขอบเขตของมวลคละตามมาตรฐาน ASTM C33 และสำหรับการผลิตคอนกรีตสมรรถนะสูง

ส่วนที่ 2 - ส่วนควบคุมการแสดงผลเส้นโค้งขนาดคละ

ส่วนที่ 3 - ตารางข้อมูลแสดงข้อมูล ขอบเขตขนาดคละที่เหมาะสม และขนาดคละร่วมของมวลรวมที่ได้จากการคำนวณ

ส่วนที่ 4 - ส่วนแสดงผลสัดส่วนการผสมของมวลรวมที่ได้จากการคำนวณ

รูปที่ ๗.๗ หน้าต่างแสดงขนาดคละของมวลรวม



ส่วนที่ 1 - ตารางแสดงผลของส่วนผสมคอนกรีตที่ได้จากการคำนวณ

ส่วนที่ 2 - ส่วนแสดงผลปริมาณวัสดุผสมหลักในส่วนผสมแบบกราฟฟิก

ส่วนที่ 3 - ส่วนควบคุมการแสดงผลปริมาณวัสดุผสมหลักในแบบกราฟฟิก

ส่วนที่ 4 - ส่วนรับข้อมูลเลือกแสดงผลแบบกราฟฟิกของการพัฒนากำลังอัด และการพัฒนาอุณหภูมิเพิ่มแบบกักกันความร้อน

ส่วนที่ 5 - ส่วนกำหนดปริมาตรตรงของส่วนผสม

รูปที่ 8.8 หน้าต่างแสดงผลลัพธ์ของการคำนวณออกแบบ



ประวัติผู้เขียน

นาย อติศร โอวาทศิริวงศ์ เกิดเมื่อวันที่ 22 มกราคม พ.ศ. 2518 ที่จังหวัดกรุงเทพมหานคร ได้รับการศึกษา
ในชั้นประถม และ มัธยมจากโรงเรียนทิวไผ่งาม จังหวัดกรุงเทพมหานคร สำเร็จการศึกษาปริญญาวิศวกรรมศาสตร
บัณฑิต จาก จุฬาลงกรณ์มหาวิทยาลัย ในปีการศึกษา 2537 เข้าศึกษาต่อในระดับปริญญาวิศวกรรมศาสตรมหา
บัณฑิต สาขาวิศวกรรมโครงสร้าง ในปีการศึกษา 2540



สถาบันวิทยบริการ
จุฬาลงกรณ์มหาวิทยาลัย